

## บทนำ

ประเทศไทยตั้งอยู่ในเขตอุ่นชื้น และมีสภาพทางภูมิศาสตร์ที่เอื้อให้มีความหลากหลายทางชีวภาพสูง ซึ่งรวมถึงทรัพยากรทางทะเล ประเทศไทยน่าจะมีสิ่งมีชีวิตอยู่ประมาณ 124,003 ชนิด หรือร้อยละ 8.9 ของสิ่งมีชีวิตอยู่ในโลกทั้งหมด ซึ่งรวมถึงชนิดพันธุ์ที่ทราบชื่อแล้ว และที่ยังไม่พบ (วิสุทธิ์ ใบเมี้ย, 2548) อย่างไรก็ตาม กิจกรรมของมนุษย์กำลังคุกคามความหลากหลายทางชีวภาพ ดังกล่าว ซึ่งเปรียบเสมือนต้นทุนทางทรัพยากรของประเทศไทย ดังนั้นด้วยสายพระเนตรกว้างและยาวไกล พระบาทสมเด็จพระเจ้าอยู่หัวทรงเห็นถึงความสำคัญของการอนุรักษ์พันธุกรรมพืช โดยทรงเริ่มดำเนินงานพัฒนาและอนุรักษ์ทรัพยากรธรรมชาติ และความหลากหลายทางชีวภาพ ตั้งแต่ปี 2503 เป็นต้นมา โดยมีพระราชดำริให้ดำเนินการสำรวจและรวบรวมปศุสัตว์และรักษาพรรณพืชต่างๆ ที่หายากและกำลังจะ灭绝 ต่อมาในปี พ.ศ. 2535 สมเด็จพระเทพรัตนราชสุดาฯ สยามบรมราชกุมารี ได้ทรงประสานพระราชปณิธานต่อโดยมีพระราชดำริ กับนายแก้วขวัญ วัชโธทัย เลขาธิการพระราชวัง ให้ดำเนินการอนุรักษ์พืชพรรณของประเทศไทยโดยพระราชทานให้โครงการส่วนพระองค์ฯ สนับสนุนดำเนินการจัดสร้างธนาคารพืชพรรณขึ้น ตั้งแต่ปี พ.ศ. 2536 เป็นต้นมา

สัตว์กลุ่มกุ้ง ปู และกุ้งนับเป็นสัตว์ที่มีคุณค่าทางเศรษฐกิจ (กรมประมง, 2544) และสำคัญต่อระบบนิเวศน์ โดยเป็นส่วนหนึ่งของห่วงโซ่ออาหาร โดยเฉพาะอย่างยิ่งกุ้ง ปู และกุ้งขนาดเล็ก อย่างไรก็ตามการจัดจำแนกหมวดหมู่ของกุ้ง ปู และกุ้งยังมีความสับสนอยู่มาก และมีการปรับเปลี่ยนการเรียกชื่อย่อยเสมอ อีกทั้งยังมีสัตว์ชนิดใหม่ๆ ที่เพิ่งจะถูกค้นพบ จึงมีความจำเป็นที่จะต้องมีการรวบรวมและเรียบเรียงให้การจัดหมวดหมู่สัตว์กลุ่มนี้ไปในทิศทางเดียวกัน แม้ว่าการจัดจำแนกโดยใช้ลักษณะภายนอก (morphology) ยังมีความจำเป็นในการแยกชนิดสิ่งมีชีวิต และเป็นวิธีมาตรฐานที่นักอนุกรมวิธานใช้ทั่วโลก แต่เครื่องมือดังกล่าวก็มีข้อจำกัดในบางกรณี เนื่องจากบางลักษณะที่ใช้แยกจีนส์ หรือสปีชีส์อาจไม่ได้สะท้อนถึงความสัมพันธ์ทางวิวัฒนาการ ปัจจุบันจึงมีการพัฒนาเครื่องมือใหม่ๆ ในระดับเดียวกัน เพื่อช่วยในการจัดจำแนกและจัดลำดับความสัมพันธ์ทางวิวัฒนาการของสัตว์กลุ่มกุ้ง ปู และกุ้งทะเล (เช่น Kim and Abele, 1990; Tudge and Cunningham, 2002; Schubart et al., 2006) นอกจากนี้ประชาคมวิทยาศาสตร์ระดับโลก ได้เลือกให้ความจำเป็นในการพัฒนาฐานข้อมูลดีอิ้นของสิ่งมีชีวิตประเภทต่างๆ ที่ผ่านการทดสอบและเทียบความถูกต้อง (verify) กับตัวอย่างอ้างอิง (voucher specimen) เพื่อให้การจำแนกชนิดเป็นไปอย่างรวดเร็ว สำหรับการใช้งานที่อาจจะหาญี่เขียวชาญได้ยาก เช่น การตรวจสอบชนิดพืชและสัตว์ที่นำเข้า หรือ การคัดกรองศัตรูพืช หรือ เชือกอ่อก (เช่น Consortium on the barcode of life; <http://www.barcoding.si.edu/>)

จากการศึกษาในปีที่ผ่านมา พบรข้อมูลที่น่าสนใจหลายประเด็น ซึ่งรวมถึงความยุ่งยากของ การแยกปูและกุ้งบางชนิด เนื่องจากสัณฐานมีความแตกต่างกันเพียงเล็กน้อย (เช่นปูม้าหิน หรือกุ้งดีดขัน) หรือปูที่มีความแปรปรวนของลักษณะรูปแบบสีลำตัว ที่จัดอยู่ในสปีชีส์เดียวกัน (เช่นปูใบบัว) หรือความแปรปรวนของลักษณะสัณฐานอันเนื่องมาจากวัยของสัตว์น้ำ ดังนั้นการศึกษาในปีที่ 3 นี้จึงจะเน้นการวิเคราะห์ดีอิ้นของปูและกุ้งกลุ่มที่มีประเด็นปัญหาทางอนุกรมวิธานที่เด่นชัด และการวิเคราะห์ทางสัณฐานควบคู่กันไป โดยจะใช้ลำดับนิวคลีโอไทด์ของยีนของทั้งบนไม้โตคอนเดรีย และจากในนิวเคลียส เนื่องจากยีนแต่ละประเภทมีระดับความแปรปรวนที่เหมาะสมต่อการ

ตรวจสอบชนิด ทั้งนี้ยืนบันไม่โตค่อนเดรี่ดีเอ็นเอ มักมีอัตราการเกิดการแทนที่นิวคลีโอไทด์สูงกว่า ตีเอ็นในนิวเคลียส (ประมาณ 5-10 เท่า) ไม่มีการรวมยีนหรือการแลกเปลี่ยนสารพันธุกรรม (Recombination) และมีการถ่ายทอดสารพันธุกรรมจากแม่สู่ลูก (Avise, 2004) ซึ่งต่างจากยีนในนิวเคลียสที่มี recombination และ ถ่ายทอดสู่รุ่นลูกจากทั้งทางพ่อและแม่

### วัตถุประสงค์ของโครงการวิจัยปีที่ 3

1. พัฒนาเครื่องมือทางชีวโมโนเลกุลในการแยกชนิดกุ้ง ปู และกุ้ง ที่พบบริเวณเกาะแสมสาร เกาะแรด เกาะจางเกลือ และเกาะขาม อำเภอสัตหีบ จังหวัดชลบุรี
2. พัฒนาฐานข้อมูลพันธุกรรมระดับชนิดของ กุ้ง ปู และกุ้งที่พบบริเวณเกาะแสมสาร เกาะแรด เกาะจางเกลือ และเกาะขาม อำเภอสัตหีบ จังหวัดชลบุรี
3. วิเคราะห์ความสัมพันธ์ทางวิัฒนาการของบางกลุ่มนุกรมวิธานของกุ้ง ปู และกุ้งที่พบบริเวณเกาะแสมสาร เกาะแรด เกาะจางเกลือ และเกาะขาม อำเภอสัตหีบ จังหวัดชลบุรี โดยใช้ลำดับ นิวคลีโอไทด์ของยีนบันไม่โตค่อนเดรี่ และยืนในนิวเคลียส

### ขอบเขตของโครงการวิจัย

#### ตัวอย่าง

รวบรวมตัวอย่าง กุ้ง ปู และ กุ้ง จาก บริเวณเกาะแสมสาร เกาะแรด เกาะจางเกลือ และ เกาะขาม อำเภอสัตหีบ จังหวัดชลบุรี โดยจะประสานงานกับการเก็บ และจำแนกชนิดตัวอย่างกับ โครงการอยุ่ ความหลากหลายทางชีวภาพของกุ้ง ปู และ กุ้ง บริเวณเกาะแสมสาร เกาะแรด เกาะจางเกลือ และเกาะขาม อำเภอสัตหีบ จังหวัดชลบุรี

#### จำนวนตัวอย่าง

สำหรับการแยกชนิดโดยสัมฐาน และเครื่องหมายพันธุกรรม จะใช้ตัวอย่าง สปีชีส์ละ ประมาณ 4 ตัวอย่าง โดยในปีงบประมาณ 2556 ตั้งเป้าหมายจะวิเคราะห์ความหลากหลายทาง พันธุกรรมของ ปูที่มีประเด็นทางอนุกรมวิธาน ได้แก่กุ้มปูใบ ปูม้าหิน ปูลม และกุ้งดีดขัน

#### ประเภทของเครื่องหมายพันธุกรรม

เครื่องหมายพันธุกรรมคือ สารพันธุกรรมที่ใช้บ่งชี้ความแตกต่างทางพันธุกรรมระดับต่างๆ เช่น ระหว่าง จีนส สปีชีส ประชากร และ ครอบครัว การศึกษานี้จะใช้เครื่องหมายพันธุกรรม 2 ประเภทคือ ยีนบันไม่โตค่อนเดรี่ดีเอ็นเอ 2 ยีน ได้แก่ ยีน 16S rRNA และ Cytochrome Oxidase subunit I (COI) และยีนที่อยู่ในนิวเคลียส 1 ยีน เช่นยีน Histone H3 เนื่องจากยีน เหล่านี้มีระดับของการถลายพันธุ์เหมาะสมสำหรับการแยกจีนส และสปีชีสสำหรับสัตว์กลุ่มกุ้ง ปู และ กุ้ง ทั้งนี้จะใช้เพอร์เมอร์สำหรับการเพิ่มดีเอ็นเอของปูที่มีการตีพิมพ์แล้ว

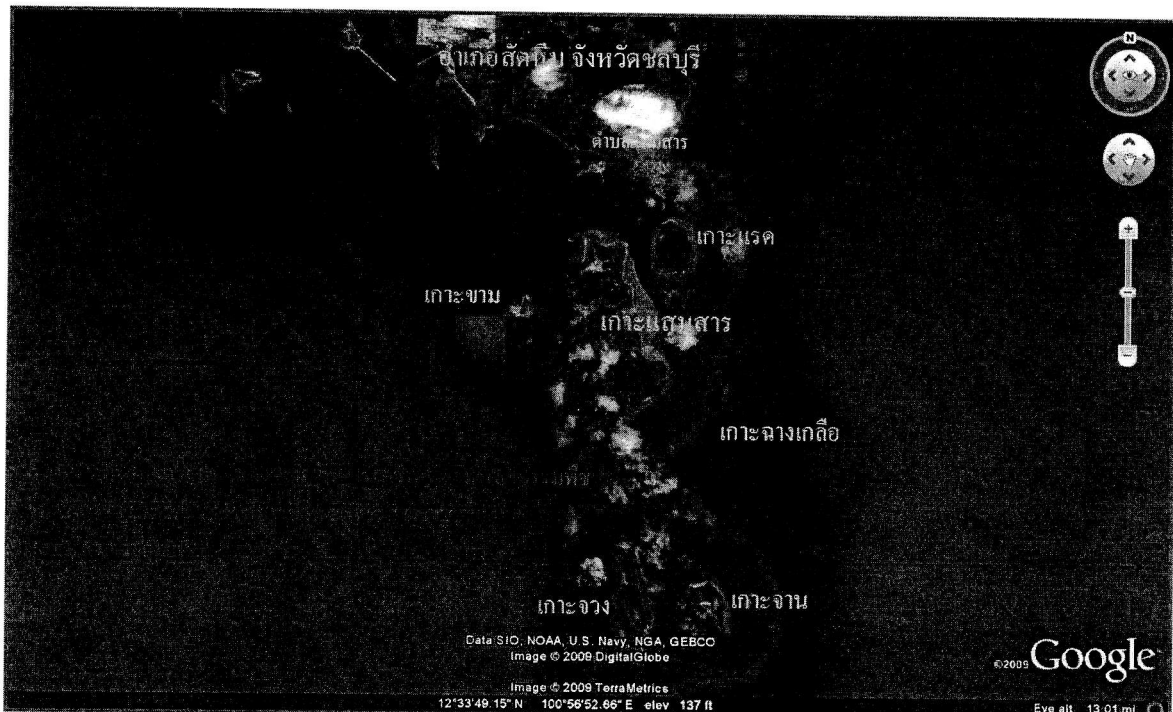
#### โจทย์วิจัย

1. ปูใบที่บ่งชี้ว่าเป็น *Leptodius exaratus* ที่มีสีสันและลวดลายลำตัวต่างกัน เป็นต่างสปีชีส์กัน หรือไม่
2. ปูม้าหิน *Thalamita* ที่คาดว่าเป็น *T. danae* และ *T. pryma* ที่บ่งชี้ลักษณะจากสัมฐาน ภายนอก (ซึ่งใกล้กันมาก) มีความสัมพันธ์ทางวิัฒนาการอย่างไร
3. ปูลม *Ocypode* ที่พบที่หมู่เกาะแสมสารมีมากกว่า 1 ชนิดหรือไม่
4. กุ้งดีดขัน *Alpheus* ที่ยังไม่สามารถแยกชนิดได้ เป็นสปีชีส์เดียวกับกุ้งดีดขันสปีชีส์อื่นๆ ที่ รวบรวมได้จากที่ต่างๆ ในจังหวัดชลบุรีหรือไม่

## วิธีการศึกษา

### การรวบรวมตัวอย่าง

รวบรวมตัวอย่างกุ้ง ปู และกั้งจากบริเวณเกาะแม่สาร เกาะแรด เกาะจางเกลือ และเกาะขาม อำเภอสัตหีบ จังหวัดชลบุรี โดยจะใช้ตัวอย่างที่จัดจำแนกชนิดด้วยสันฐาน จากโครงการย่อย ความหลากหลายทางชีวภาพของกุ้ง ปู และ กั้ง บริเวณเกาะแม่สาร เกาะแรด เกาะจางเกลือ และเกาะขาม อำเภอสัตหีบ จังหวัดชลบุรี เก็บรักษาตัวอย่างด้วยแอลกอฮอล์ 95%



ภาพที่ 1 แผนที่ พื้นที่ปกปักษ์ธรรมชาติทางทะเล เกาะแม่สารและเกาะไกล์เคียง อำเภอสัตหีบ จังหวัดชลบุรี (จากการวิจัย ทรัพยากรชีวภาพทางทะเลในพื้นที่ปกปักษ์ธรรมชาติทางทะเล หมู่เกาะแม่สาร จังหวัดชลบุรี : องค์ความรู้ผู้คนสู่วิถีไทยและการใช้ประโยชน์อย่างยั่งยืน)

ตัวอย่างที่สร้างข้อมูลรายพิมพ์เดอันเอกสารรับแผนการในปีที่ 3 ได้แก่ปู และกุ้งน้ำเค็มที่มีประเด็นด้านอนุกรรมวิธาร (ภาพที่ 2) ซึ่งรวมถึงปูใบ (*Leptodius exaratus*) ปูม้าหินสกุล *Thalamita* (*T. prymna* และ *T. danae*) ปูลม (*Ocypode spp.*) และกุ้งดีดขัน (*Alpheus spp.*) (ภาพที่ 2) ซึ่งเป็นตัวอย่างที่พบที่แม่สาร และพบที่ท่าเรืออ่างศิลา (สำหรับปูลม) โดยตัวอย่างที่ใช้วิเคราะห์มีจำนวนกลุ่มละ 8-10 ตัวอย่าง (ถ้าสามารถแยกเป็นกลุ่มได้ จะใช้ตัวอย่างอย่างน้อยสี่ชิ้นละ 4 ตัวอย่าง)

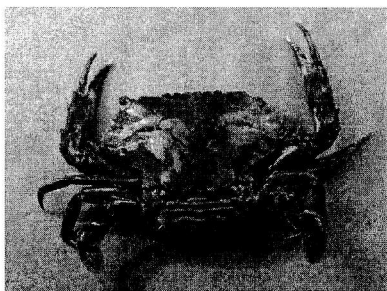
นอกเหนือจากตัวอย่างที่เก็บรวบรวมจากหมู่เกาะแม่สารแล้ว การศึกษานี้ยังได้เคราะห์ตัวอย่าง นิวคลีโอไทด์ของปูน้ำเค็มและกุ้งดีดขันจากฐานข้อมูล GenBank (ตารางที่ 1) ข้อมูลนิวคลีโอไทด์จากฐานข้อมูล GenBank ประกอบไปด้วย ปูในสกุล *Thalamita*, *Charybdis*, *Scylla*, *Ocypode* และปูจากรวงศ์ Varunidae 1 ชนิดคือ *Gaetice depressus* (HM180588.1) นอกจากนี้ยังได้รวมกุ้งดีดขันสกุล *Alpheus* อีกหลายชนิด

ตารางที่ 1 รหัสและชื่อตัวอย่างปูน้ำเค็มที่รวบรวมจากหมู่เกาะแสมสารที่ใช้ศึกษาในครั้งนี้ และตัวอย่างนิวคลีโอไทด์ของยีน COI, 16S rRNA และยีน Histone H3 ของปูใบ ปูม้าหิน ปูลม กุ้งดีดขัน และปูชนิดอื่นในฐานข้อมูล GenBank โดยชื่อวิทยาศาสตร์ที่ปรากฏสำหรับตัวอย่างที่รวบรวมจากหมู่เกาะแสมสารที่มีการระบุชนิดโดยใช้ลักษณะสัณฐาน

รหัสตัวอย่าง	ชื่อวิทยาศาสตร์ (ที่แยกเป็นต้นจากสัณฐาน)	GenBank Accession No.	ยีน
ปูใบ			
Leex	<i>Leptodius exaratus</i>		COI, 16S, H3
ปูม้าหิน			
Thsp	<i>Thalamita prymna</i>	-	COI, 16S, H3
Thda	<i>Thalamita danae</i>	-	COI, 16S, H3
	<i>Thalamita sima</i> <i>Thalamita crenata</i> <i>Thalamita admete</i> <i>Thalamita prymna</i> <i>Charybdis hellerii</i> <i>Charybdis variegate</i> <i>Charybdis japonica</i> <i>Charybdis feriatus</i> <i>Scylla serrata</i> <i>Gaetice depressus</i>	JX502946.1 JX398104.1 JQ180240.1 JX398103.1 JX123454.1 EU284142.1 EU586120.1 EU284140.1 KF612462.1 HM180588.1	COI
	<i>Thalamita danae</i> <i>Thalamita crenata</i> <i>Charybdis japonica</i> <i>Charybdis feriata</i> <i>Thalamita sima</i>	FJ152165.1 LK391945.1 FJ460517.1 546355162 FJ152166.1	16S
ปูลม			
Occe	<i>Ocypode ceratophthalmus</i>		COI, 16S, H3
	<i>Ocypode ceratophthalmus</i> <i>Ocypode platytarsis</i> <i>Ocypode stimpsoni</i> <i>Ocypode mortoni</i> <i>Ocypode sinensis</i>	AB751382.1 KF633178.1 JX502934.1 AB751388.1 AB751392.1	COI
	<i>Ocypode ryderii</i> <i>Ocypode quadrata</i> <i>Ocypode ceratophthalmus</i> <i>Ucides cordatus</i> <i>Uca rapax</i>	AM180689.1 FN539018.1 LN611669.1 FN539019.1 B813665.1	16S

ตารางที่ 1 (ต่อ)

รหัสตัวอย่าง	ชื่อวิทยาศาสตร์ (ที่แยกเบื้องต้นจากสัณฐาน)	GenBank Accession No.	ยี่น
กุ้งดีดขัน			
Alse	<i>Alpheus serenie</i>		16S
Alra	<i>A. rapacida</i>		16S
Alsp	<i>Alpheus sp.</i>		16S
	<i>Alpheus distinguendus</i> <i>Alpheus buckupi</i> <i>Alpheus chacei</i> <i>Alpheus petronioi</i> <i>Alpheus pontederiae</i> <i>Alpheus microrhynchus</i> <i>Alpheus aff. euphrosyne</i> <i>Alpheus heterochaelis</i> <i>Alpheus estuariensis</i> <i>Alpheus scopulus</i> <i>Alpheus hyeyoungae</i> <i>Alpheus lobidens</i> <i>Alpheus armillatus</i> <i>Alpheus tenuis</i> <i>Alpheus cf. armillatus</i>	GQ892049.1 JX286604.1 JX286606.1 KF667545.1 KF667547.1 JX286612.1 JX286609.1 AF501647.1, JX286610.1 JX286608.1 FJ528446.1 FJ528479.1 JX286611.1 FJ528475.1 AF501648.1 DQ682861.1	16S



บูม้าหิน  
*Thalamita danae* Stimpson, 1858

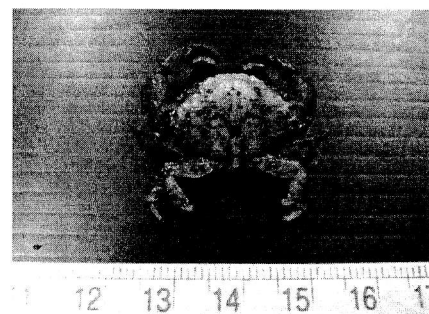
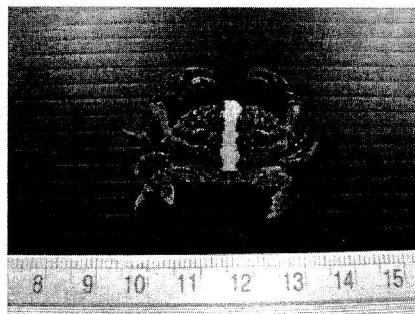
(ก)



บูม้าหิน  
*Thalamita prymna* (Herbst, 1794)

(ข)

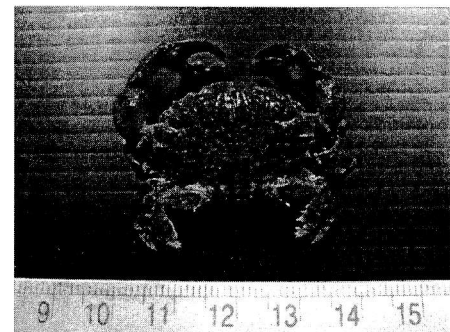
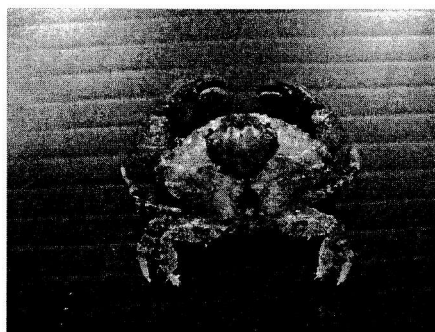
ภาพที่ 2 ลักษณะภายนอกของปู และกุ้งน้ำเค็มเต็มวัยบางชนิด ที่จะรวมในการศึกษาในครั้งนี้ (ก) – (ข) เป็นกลุ่มบูม้าหิน (ก) – (ฉ) เป็นปูใบหิน (ข) – (ช) เป็นปูลม (ก) – (ภ) เป็นกุ้งดีดขัน (ภาพถ่ายจาก ผศ. ดร. นงนุช ตั้งเกริกโวพาร)



ປຸ້ເບ້າ

*Leptodius exaratus* (H. Milne Edwards, 1834)

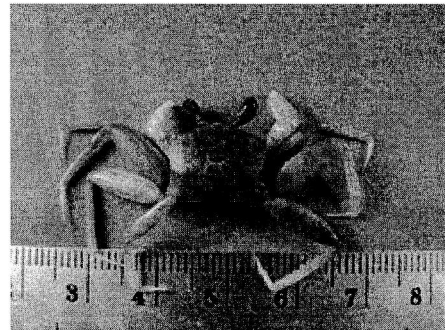
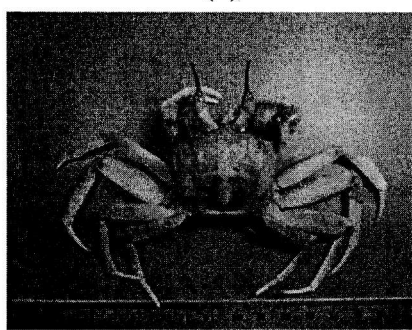
(ຄ)



ປຸ້ເບ້າ

*Leptodius exaratus* (H. Milne Edwards, 1834)

(ຈ)

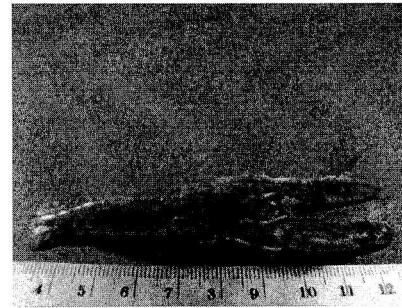
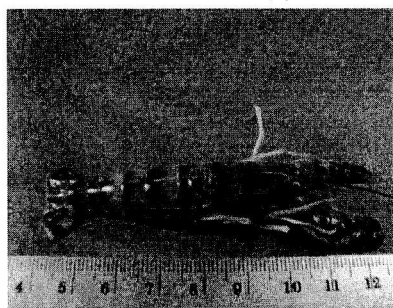


(ຈ)

(ຈ)

ປຸ້ມຕາຍາ ປຸ້ຜີ

*Ocypode ceratophthalmus* (Pallas, 1772)



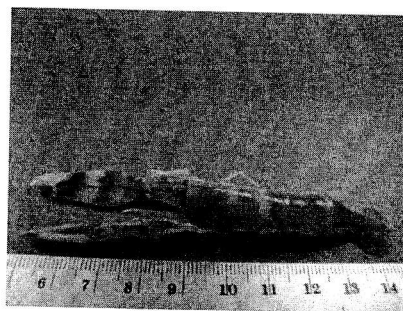
ກັງດືດຊັນ

*Alpheus serenei* Tiwari, 1963

(ຄມ)

*Alpheus rapacida* de Man, 1908

(ຄມ)



กุ้งดีดขัน *Alpheus* sp. (ภู)

ภาพที่ 2 (ต่อ)

### การวิเคราะห์ในห้องปฏิบัติการ

การวิเคราะห์ในห้องปฏิบัติการจะประกอบไปด้วย (1) การสกัด DNA จากเนื้อเยื่อของตัวอย่างปู และกุ้งดีดขัน (2) การเพิ่มจำนวนดีเอ็นเอเป้าหมาย โดยปฏิกิริยาลูกโซ่ หรือพีซีอาร์ (polymerase chain reaction; PCR) (3) การตรวจสอบผลผลิตพีซีอาร์ โดยใช้เทคนิคเจลอะลูมิโนฟอร์มาทริช (gel electrophoresis) ซึ่งจะแยกดีเอ็นเอที่มีน้ำหนักโมเลกุลที่ต่างกัน โดยใช้กระਸไฟฟ์ และตรวจการปรากฏของแถบดีเอ็นเอเป้าหมายด้วยการย้อมเจลในสารละลาย ethidium bromide (4) การทำความสะอาดผลผลิตพีซีอาร์เพื่อการวิเคราะห์ลำดับนิวคลีโอไทด์

#### สกัดดีเอ็นเอ

สกัดดีเอ็นเอจากเนื้อเยื่อที่เก็บรักษาในแอลกอฮอล์ 95% ด้วยวิธีการสกัดมาตรฐาน Salt extraction (อธิบายไว้ใน Aljanabi and Martinez 1997) หรือใช้ชุดสกัดดีเอ็นเอสำเร็จรูป (RBC BioScience Corp, Taiwan) ตามวิธีการที่แนะนำของผู้ผลิตและ เก็บรักษาดีเอ็นเอที่สกัดแล้วด้วยสารละลาย TE (10mM Tris, 0.1mM EDTA, pH 8.0) หรือน้ำปราศจากอิオン

ดีเอ็นเอด้วยวิธี Salt extraction ที่ดัดแปลงจากวิธีของ Aljanabi & Martinez (1997) วิธีการโดยสังเขปดังนี้คือ นำเนื้อเยื่อของปูมาหิน Mataดและบดละเอียดให้มีขนาดเล็กประมาณ 2 มิลลิเมตร ใส่ลงในหลอดทดลอง Microcentrifuge tube ขนาด 1.5 ml ที่มี Lysis buffer (10 mM Tris HCl pH 8.0, 2 mM EDTA pH 8.0, 2% SDS, 0.4 M NaCl) และ Proteinase K (20 mg/ml) เพื่อทำการย่อยโปรตีนออกจากเนื้อเยื่อและบ่มสารละลายที่ได้ด้วยเครื่องปรับอุณหภูมิตัวยน้ำที่ 55 องศาเซลเซียส เป็นเวลา 12 ชั่วโมง หลังจากนั้นตกรตะกอนโดยเติม 6 M NaCl และตกรตะกอนดีเอ็นเอโดยเติม Isopropanol 100% ล้างตะกอนดีเอ็นเอด้วย Ethanol 70%

#### เพิ่มดีเอ็นเอเป้าหมายด้วยเทคนิคพีซีอาร์

เพิ่มปริมาณดีเอ็นเอโดยอาศัยการทำงานของเอนไซม์ DNA polymerase และการเปลี่ยนแปลงอุณหภูมิ (ปฏิกิริยาลูกโซ่; PCR) ใน 1 ปฏิกิริยา ( $50 \mu\text{l}$ ) จะใช้ส่วนผสมดังนี้ คือ ดีเอ็นเอต้นแบบประมาณ 10-100 pg บัฟเฟอร์ความเข้มข้น 1 เท่า (เจือจางจากสารละลายบัฟเฟอร์ความเข้มข้น 10 เท่า) นิวคลีโอไทด์ไตรฟอสเฟต(dNTPs) ความเข้มข้นทั้ง 4 เบส 1 mM แมกนีเซียมคลอไรด์( $\text{MgCl}_2$ ) ความเข้มข้น 1.5 mM ไพรเมอร์แต่ละสาย ที่ความเข้มข้น 0.2  $\mu\text{M}$  และ *Taq* DNA polymerase 2 unit โดยไพรเมอร์ (ชิ้นนิวคลีโอไทด์สายสั้นๆ ที่เป็นจุดเริ่มต้นของการเพิ่ม)

ปริมาณดีเอ็นเอ) ที่ใช้จะเป็นไพรเมอร์ ที่พัฒนาแล้วสำหรับปูชนิดอื่น (ตารางที่ 1) โดยรวมถึงยีน 16S rRNA และ Cytochrome oxidase subunit I (COI) บนไมโทคอนเดรีย และยีน Histone H3 ในนิวเคลียส (Schubart et al. 2006; Schubart and Reuschel 2009)

การเพิ่มดีเอ็นเอในสารละลายปฏิกิริยาจะผ่านการเพิ่มลดอุณหภูมิในเครื่อง thermocycler (MJ mini, Biorads, USA) โดยวัฏจักรการเพิ่มลดอุณหภูมิประกอบไปด้วย 3 ชุด (ตารางที่ 2) คือ (1) วัฏจักร 1 รอบของการเพิ่มอุณหภูมิเพื่อให้ดีเอ็นเอแยกเป็น 2 เส้น (denaturing temperature, 94°C) เป็นเวลา 3 นาที (2) วัฏจักร 35 รอบของ denaturing temperature นาน 1 นาที การลดอุณหภูมิเพื่อให้ไพรเมอร์เกาะกับสายดีเอ็นเอต้นแบบ (annealing temperature, 45 °C, ตารางที่ 2) เป็นเวลา 1 นาที และการเพิ่มอุณหภูมิเพื่อให้ exon ไซเมร์ DNA polymerase ซ่อมสายดีเอ็นเอเส้นใหม่ ให้สมบูรณ์ (extension temperature, 72 °C) เป็นเวลา 1.5 นาที และ (3) วัฏจักร 1 รอบ ของ extension temperature นาน 10 นาที (ดัดแปลงจาก Schubart et al. 2006)

ตารางที่ 2 รายละเอียดของไพรเมอร์ พร้อมรายละเอียดของอุณหภูมิที่ไพรเมอร์ เกาะกับดีเอ็นเอ ต้นแบบ (annealing temperature) ที่ทดสอบในการศึกษาในครั้งนี้

ยีน	รายละเอียดไพรเมอร์	Annealing temperature	อ้างอิง
16S rRNA (ไมโทคอนเดรีย)	16S-1472: 5'AGA TAG AAA CCA ACC TGG3'	45 C	Schubart et al. (2006)
	16S-L2: 5'TGC CTG TTT ATC AAA AAC AT3'		
Cytochrome oxidase subunit I (COI; ไมโทคอนเดรีย)	COI HCO2198: 5' TAA ACT TCA GGG TGA CCA AAA AAT CA 3' COI LCO1490: 5' GGT CAA CAA ATC ATA AAG ATA TTG G 3'	45 C	Hebert et al. (2003)
H3 (นิวเคลียส)	H3af:5'-ATG GCT CGT ACC AAG CAG ACC GC-3' H3ar:5'-ATA TCC TTG GGC ATG ATG GTG AC-3'	45 C	Schubart and Reuschel (2009)

### การวิเคราะห์หาลำดับนิวคลีโอไทด์

ทำการวิเคราะห์หาลำดับนิวคลีโอไทด์ ด้วยชุดทำการวิเคราะห์หาความหลากหลายผลผลิตพีซีอาร์ สำเร็จรูป (HiYield Gel/PCR DNA Fragment extraction kit, RBC Bioscience) เพื่อกำจัดนิวคลีโอไทด์อิสระ และชิ้นไพรเมอร์ส่วนเกิน ตรวจสอบความแม่นยำ และปริมาณของผลผลิตพีซีอาร์ที่ทำการวิเคราะห์หาลำดับนิวคลีโอไทด์ ส่วนตัวที่ย้อมติดด้วยเอธิดีเยียมโดยไมร์ สารดีเอ็นเอที่ย้อมติดด้วยเอธิดีเยียมโดยไมร์ จะเรืองแสง ภายใต้แสง UV เทียบความเข้มกับดีเอ็นเอขนาดมาตรฐาน 100 คู่เบส (M23 100 bp) จากนั้นวิเคราะห์หาลำดับนิวคลีโอไทด์ ด้วยเครื่องหาลำดับนิวคลีโอไทด์อัตโนมัติ ABI 3100 (บริษัท 1<sup>st</sup> Base ประเทศไทย) การวิเคราะห์หาลำดับนิวคลีโอไทด์ดังกล่าวใช้ระบบวิเคราะห์อิเล็กโตรโพลิเมอริซต์ในมัตติ (automated sequencer) ซึ่งอาศัย

หลักการตรวจสอบคลื่นแสงที่ปลดปล่อยจากกลากเรืองแสงบนเครื่องหมายพันธุกรรม เมื่อกระตุนด้วย แสงเลเซอร์ ข้อมูลจะเป็น electropherogram ที่แสดง peak ของเบสต่างๆ ด้วยสีที่แตกต่างกัน

### การวิเคราะห์ข้อมูล

#### จัดและแก้ไขลำดับนิวคลีโอไทด์

ตรวจสอบความถูกต้องของลำดับนิวคลีโอไทด์ (ความสอดคล้องกันระหว่างนิวคลีโอไทด์ที่อ่านได้ และ ความชัดเจนของ peak) ด้วยโปรแกรมคอมพิวเตอร์ Sequence Scanner v. 1 (Applied Biosystems, USA) จากนั้นจัดเรียง (align) ลำดับนิวคลีโอไทด์ที่แก้ไขแล้วของตัวอย่าง โดยใช้ algorithm ClustalW ที่มีอยู่ในซอฟต์แวร์ BioEdit version 7.05.3 (Hall, 1999) หลักการของการ align คือ การจัดเรียงลำดับนิวคลีโอไทด์อีกต่อไปยังน้อยสองเส้นให้มีจำนวนนิวคลีโอไทด์เหมือนกันมากที่สุด และ มีจำนวนช่องว่างที่เพิ่ม (gap) น้อยที่สุด การ align จะบ่งบอกตำแหน่งที่มีความแตกต่างกันของนิวคลีโอไทด์ระหว่างสาย นิวคลีโอไทด์

#### ประยุกต์ใช้ประดับความคล้ายคลึงของลำดับนิวคลีโอไทด์

วิเคราะห์ความหลากหลายทางพันธุกรรมของสายนิวคลีโอไทด์ ของปู ชนิดต่างๆ และกุ้ง ดีดขัน โดยใช้ข้อมูลดังต่อไปนี้ คือ (1) ค่าเฉลี่ยจำนวนเบสของแต่ละเบส (Bases Composition) (2) จำนวนตำแหน่งที่มีความแปรปรวนของนิวคลีโอไทด์ (Variable sites) และที่สามารถนำไปวิเคราะห์ความสัมพันธ์ทางวิวัฒนาการ (Parsimony informative sites) (3) ความแตกต่างทางวิวัฒนาการระหว่างสายนิวคลีโอไทด์ ที่แสดงเป็นจำนวนการแทนที่เบสต่อตำแหน่ง (ใต้แนวเส้นทางแยกมุม) และค่า standard error (เหนื้อแนวเส้นทางแยกมุม) โดยใช้ค่าร้อยละที่ทางพันธุกรรมที่คำนวณจากรูปแบบการแทนที่นิวคลีโอไทด์ตามโมเดลที่เหมาะสมกับข้อมูล ซึ่งค่าดังนี้ เหล่านี้สามารถคำนวณได้จากโปรแกรมคอมพิวเตอร์ MEGA version 6.0 (Tamura et al. 2013)

#### การวิเคราะห์ความสัมพันธ์ทางวิวัฒนาการ

สร้างแผนภูมิแสดงความสัมพันธ์ทางวิวัฒนาการ (Phylogenetic trees) โดยวิธี Maximum Likelihood และ Minimum Evolution (Rzhetsky and Nei 1992) โดยใช้โมเดลที่อธิบายอัตราการกลายที่เหมาะสมกับข้อมูลมากที่สุด (คำนวณด้วยโปรแกรม MEGA version 6.0) ทดสอบความสม่ำเสมอของการจัดกลุ่มด้วยวิธี Bootstrapping ที่ 1000 ชี้ สร้างแผนภูมิฯ โดยใช้โปรแกรมคอมพิวเตอร์ MEGA version 6.0

## ผลการศึกษา

สายนิวคลีโอไทด์ของยีน COI ที่ใช้เคราะห์ (หลังจากการจัดเรียงนิวคลีโอไทด์) ในการศึกษาครั้งนี้ มีความยาวทั้งสิ้น 623 (ปูลม) - 686 (ปูใบ) คู่เบส และสายนิวคลีโอไทด์ของยีน 16S rRNA มีความยาวทั้งสิ้น 516 (กุ้งดีดขัน) – 542 (ปูม้าหิน) คู่เบส ในขณะที่ยีน Histone H3 ที่วิเคราะห์มีความยาว 297 (ปูลม) - 349 (ปูใบ) ในตัวอย่างกุ้งปูทุกชนิด ยีน COI มีระดับความแปรปรวนมากที่สุด และยีน Histone H3 มีความแปรปรวนต่ำสุด

เมื่อเปรียบเทียบยีนตัวแหน่งเดียวกันระหว่างสิ่งมีชีวิตต่างกลุ่ม พบร่วงค์ประกอบของนิวคลีโอไทด์ (Thyamine, Cytosine, Adenine และ Guanine) มีค่าไกล์เคียงกัน

ความแปรปรวนของของลำดับนิวคลีโอไทด์ และความแตกต่างทางพันธุกรรมของปูใบ

ทั้งสามยีนบ่งชี้ว่ากลุ่มปูใบที่คาดว่าเป็นชนิด *Leptodius exaratus* ที่มีสีและลวดลายบนลำตัวแตกต่างกัน (ตารางที่ 3) ไม่มีความแตกต่างทางพันธุกรรม ยีน COI แสดงระดับความแปรปรวนระหว่างตัวอย่างเท่ากับร้อยละ 3.21 (สัดส่วนของตัวแหน่งที่มีความแปรปรวนเทียบกับจำนวนนิวคลีโอไทด์ที่วิเคราะห์) ในขณะที่ยีน 16S แสดงสัดส่วนตัวแหน่งที่มีความแปรปรวนเพียงร้อยละ 0.02 เมื่อเทียบกับนิวคลีโอไทด์ทั้งสาม และยีน Histone H3 ไม่แสดงความแตกต่างระหว่างตัวอย่างเลย

ตารางที่ 3 ความหลากหลายทางพันธุกรรม และข้อมูลสถิติของลำดับนิวคลีโอไทด์ของตัวอย่างปูใบ *Leptodius exaratus* ที่รวบรวมจากหมู่เกาะแสมสาร

	COI	16S	Histone H3
Total number of nucleotides (bp)	686	534	349
Number of sequence	8	6	7
Variable sites	22 (3.21%)	1 (0.02%)	0
Parsimony informative sites	7 (1.02%)	0	0
Mean T content	34.8	33.4	18.9
Mean C content	20.7	11.3	29.2
Mean A content	26.8	36.0	15.8
Mean G content	17.6	19.3	36.1

ความแปรปรวนของของลำดับนิวคลีโอไทด์ และความแตกต่างทางพันธุกรรมของปูม้าหินสกุล *Thalamita*

ปูม้าหินที่คาดว่าจะเป็น *Thalamita danae* และ *T. prymna* (ลักษณะของพื้นผิวของฐานหนวด basal attena ต่างกัน) ที่รวบรวมจากหมู่เกาะแสมสาร ไม่มีความแตกต่างกันทางพันธุกรรม เมื่อสรุปจากผลลำดับนิวคลีโอไทด์ของทั้งสามยีน (ตารางที่ 4) โดยยีน Histone H3 แสดงระดับความ

แปรปรวนของลำดับนิวคลีโอไทด์เท่ากับร้อยละ 1.5 ในขณะที่ยีน COI และ 16S rRNA มีความแปรปรวนเพียงร้อยละ 0.003 และ 0.07 ตามลำดับ

ตารางที่ 4 ความหลากหลายทางพันธุกรรม และข้อมูลสถิติของลำดับนิวคลีโอไทด์ของตัวอย่าง ปูม้าหิน *Thalamita* spp. ที่รวมมาจากหมู่เกาะแสมสาร

	COI	16S	Histone H3
Total number of nucleotides (bp)	527	542	328
Number of sequence	14	8	9
Variable sites	2 (0.003%)	4 (0.07%)	5 (1.5%)
Parsimony informative sites	0	0	1 (0.03%)
Mean T content	28.6	37.4	20.2
Mean C content	17.2	11.2	31.7
Mean A content	34.7	33.7	19.7
Mean G content	19.4	17.7	28.5

ชนิดพันธุ์ *Thalamita* ของหมู่เกาะแสมสารที่วิเคราะห์ ในครั้งนี้ น่าจะเป็นชนิดที่แตกต่างจาก *T. prymna* ที่อยู่ในฐานข้อมูล GenBank (ตารางที่ 5 และ 6) เนื่องจากลำดับนิวคลีโอไทด์ของยีน COI บ่งชี้ว่าสายนิวคลีโอไทด์ของปูจากหมู่เกาะแสมสารแตกต่างจากตัวอย่าง *T. prymna* ที่อยู่ฐานข้อมูลฯ ค่อนข้างมาก (ระดับความเหมือนเท่ากับร้อยละ 89 และมีระยะห่างทางพันธุกรรมเท่ากับ 0.18) แต่จะคล้ายกับ *T. danae* ที่อยู่ในฐานข้อมูลฯ เมื่ออ้างอิงจากยีน 16S rRNA เนื่องจากพบร่องรอยความคล้ายกันถึงร้อยละ 99 อย่างไรก็ตาม ยีน Histone H3 ไม่แสดงข้อมูลที่เป็นประโยชน์ในการระบุชนิดมากนัก เพราะไม่สามารถแยกความแตกต่างระหว่างปู *Thalamita* ของแสมสารกับ *T. crenata* และ *T. danae* ได้

ตารางที่ 5 ระดับความเหมือน (% identity) ของลำดับนิวคลีโอไทด์ของปูม้าหินสกุล *Thalamita* ที่รวมรวมจากภาษาแสเมสาร จังหวัดชลบุรี เมื่อเทียบกับข้อมูลที่มีรายงานในฐานข้อมูล GenBank ที่ได้อันเนอร์ิเวน (a) ยืน COI (b) ยืน 16S rRNA และ (c) ยืน Histone H3

(a) ยืน COI

ตัวอย่างปูม้าหินสกุล <i>Thalamita</i>	ข้อมูล GenBank ของยืน COI		
	รายละเอียดข้อมูล	จำนวนเบสที่เทียบเคียง (และ % Identities)	% Coverage
Thsp01, Thsp02, Thsp04, Thsp08, Thsp12, Thda01F, Thda03, Thda04F, Thda6, Thpr01, Thpr02M และ Thpr04F	<i>Thalamita sima</i> (JX502946.1) <i>T. admete</i> (JQ180240.1) <i>T. prymna</i> (JX398103.1) <i>T. crenata</i> (JX398104.1)	791 (89%) 680 (86%) 641 (89%) 708 (91%)	95% 94% 76% 76%

(b) ยืน 16S rRNA

ตัวอย่างปูม้าหินสกุล <i>Thalamita</i>	ข้อมูล GenBank ของยืน 16S rRNA		
	รายละเอียดข้อมูล	จำนวนเบสที่เทียบเคียง (และ % Identities)	% Coverage
Thpr1 - Thpr 4, Thda 2, Thda3, Thda4, และ Thda 6	<i>T. danae</i> (FJ152165.1) <i>T. crenata</i> (LK391945.1) <i>T. sima</i> (FJ152166.1)	517 (99) 562 (96) 521 (92)	92 100 92

(c) ยืน Histone H3

ตัวอย่างปูม้าหินสกุล <i>Thalamita</i>	ข้อมูล GenBank ของยืน Histone H3		
	รายละเอียดข้อมูล	จำนวนเบสที่เทียบเคียง (และ % Identities)	% Coverage
Thpr1, Thpr2, Thpr 4, Thda3 – Thda8	<i>T. crenata</i> (FM208800.1) <i>T. prymna</i> (JX398114.1) <i>T. sima</i> (JX398122.1)	328 (99) 327 (99) 327 (94)	87 87 87

นอกจากนี้ค่าระยะห่างทางพันธุกรรมที่คำนวนจากลำดับนิวคลีโอไทด์ของยืน COI (ตารางที่ 6) และแผนภูมิแสดงความสัมพันธ์ทางวิฒนาการที่สร้างจากข้อมูลนิวคลีโอไทด์ของยืนดำเนินการเดียวกัน (ภาพที่ 3 และ 4) ยังแสดงให้เห็นว่าตัวอย่างที่คาดว่าจะเป็น 2 ชนิด (*Thalamita danae* และ *T. prymna*) ของหมู่ภาษาแสเมสาร น่าจะเป็นกลุ่มชนิดพันธุ์เพียงชนิดเดียว เนื่องจากไม่มีความแตกต่างทางพันธุกรรม (ระยะห่างทางพันธุกรรมระยะห่างทางพันธุกรรมเท่ากับ 0-0.002 และ 0-0.01 สำหรับยืน COI และ 16S ตามลำดับ) และการวิเคราะห์ความสัมพันธ์ทางวิฒนาการได้จัดกลุ่มให้ตัวอย่าง

ทั้งหมด ให้เป็นกลุ่มเดียวกัน เมื่อวิเคราะห์ลำดับนิวคลีโอไทด์ของทั้งสองยีน โดยค่าสนับสนุนการจัดกลุ่มมีค่าระหว่างร้อยละ 99 ถึง 100 ของการสุมแพนภูมิฯ ทั้งหมด

ตัวอย่างที่รวมจากหมู่เกาะแสมสารน่าจะเป็นปูชนิด *Thalamita danae* เพราะเมื่อพิจารณาแพนภูมิฯ ที่สร้างจากยีน 16S rRNA แล้วพบว่า ตัวอย่างทั้งหมดถูกจัดรวมกับสายนิวคลีโอไทด์ของ *T. danae* ที่อยู่ในฐานข้อมูล GenBank ซึ่งตัวอย่างในกลุ่มนี้แตกต่างจากชนิดอื่นที่อยู่ในสกุลเดียวกัน คือ *T. crenata* และ *T. sima* อย่างชัดเจน

ตารางที่ 6 ค่าความแตกต่างทางพันธุกรรมระหว่างตัวอย่างปูม้าหิน *Thalamita* (แนวล่างเส้นทแยงมุม) โดยคำนวณจากจำนวนการแทนที่นิวคลีโอไทด์ต่อตำแหน่ง เฉลี่ยระหว่างทุกคู่สายนิวคลีโอไทด์ที่ (a) ยืน COI (24 สาย ที่ความยาว 527 คู่เบส) ด้วยโมเดล Tamura-Nei ที่รวมความแปรปรวนของอัตราการเปลี่ยนทาง วิวัฒนาการระหว่างตำแหน่ง (G) และ (b) ยืน 16S rRNA (14 สาย ที่ความยาว 517 คู่เบส) ด้วยโมเดล Tamura-3-parameter (T92+I) ที่มีสัดส่วนของสายนิวคลีโอไทด์ ที่ไม่มีการเปลี่ยนแปลง ส่วนค่า Standard error แสดงเหนือเส้นทแยงมุม

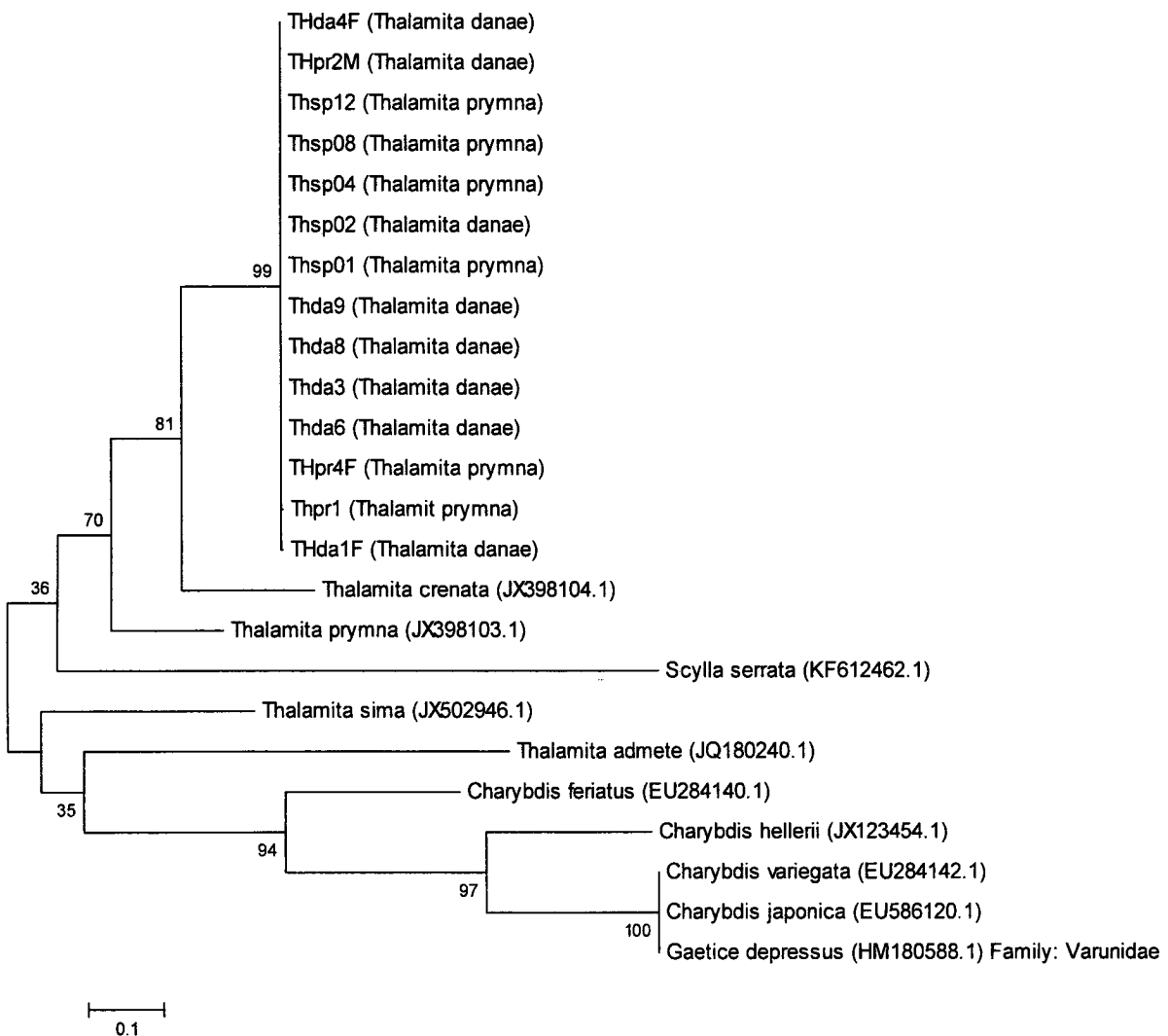
(a) ยืน COI (TN93+G)

Thda3 ( <i>Thalamita danae</i> )	0.00	0.00	0.00	0.00	0.00	0.00	0.00	0.00	0.00	0.00	0.00	0.00	0.02	0.02	0.02	0.02	0.02	0.02	0.02	0.03	0.02
Thda6 ( <i>Thalamita danae</i> )	0.00	0.00	0.00	0.00	0.00	0.00	0.00	0.00	0.00	0.00	0.00	0.00	0.02	0.02	0.02	0.02	0.02	0.02	0.02	0.03	0.02
Thda8 ( <i>Thalamita danae</i> )	0.00	0.00	0.00	0.00	0.00	0.00	0.00	0.00	0.00	0.00	0.00	0.00	0.02	0.02	0.02	0.02	0.02	0.02	0.02	0.03	0.02
Thda9 ( <i>Thalamita danae</i> )	0.00	0.00	0.00	0.00	0.00	0.00	0.00	0.00	0.00	0.00	0.00	0.00	0.02	0.02	0.02	0.02	0.02	0.02	0.02	0.03	0.02
Thpr1 ( <i>Thalamit prymna</i> )	0.00	0.00	0.00	0.00	0.00	0.00	0.00	0.00	0.00	0.00	0.00	0.00	0.02	0.02	0.02	0.02	0.02	0.02	0.02	0.03	0.02
Thsp01 ( <i>Thalamita prymna</i> )	0.00	0.00	0.00	0.00	0.00	0.00	0.00	0.00	0.00	0.00	0.00	0.00	0.02	0.02	0.02	0.02	0.02	0.02	0.02	0.03	0.02
Thsp02 ( <i>Thalamita danae</i> )	0.00	0.00	0.00	0.00	0.00	0.00	0.00	0.00	0.00	0.00	0.00	0.00	0.02	0.02	0.02	0.02	0.02	0.02	0.02	0.03	0.02
Thsp04 ( <i>Thalamita prymna</i> )	0.00	0.00	0.00	0.00	0.00	0.00	0.00	0.00	0.00	0.00	0.00	0.00	0.02	0.02	0.02	0.02	0.02	0.02	0.02	0.03	0.02
Thsp08 ( <i>Thalamita prymna</i> )	0.00	0.00	0.00	0.00	0.00	0.00	0.00	0.00	0.00	0.00	0.00	0.00	0.02	0.02	0.02	0.02	0.02	0.02	0.02	0.03	0.02
Thsp12 ( <i>Thalamita prymna</i> )	0.00	0.00	0.00	0.00	0.00	0.00	0.00	0.00	0.00	0.00	0.00	0.00	0.02	0.02	0.02	0.02	0.02	0.02	0.02	0.03	0.02
THda1F ( <i>Thalamita danae</i> )	0.00	0.00	0.00	0.00	0.00	0.00	0.00	0.00	0.00	0.00	0.00	0.00	0.02	0.02	0.02	0.02	0.02	0.03	0.03	0.02	0.03
THda4F ( <i>Thalamita danae</i> )	0.00	0.00	0.00	0.00	0.00	0.00	0.00	0.00	0.00	0.00	0.00	0.00	0.02	0.02	0.02	0.02	0.02	0.02	0.02	0.03	0.02
THpr2M ( <i>Thalamita danae</i> )	0.00	0.00	0.00	0.00	0.00	0.00	0.00	0.00	0.00	0.00	0.00	0.00	0.02	0.02	0.02	0.02	0.02	0.02	0.02	0.03	0.02
THpr4F ( <i>Thalamita prymna</i> )	0.00	0.00	0.00	0.00	0.00	0.00	0.00	0.00	0.00	0.00	0.00	0.00	0.02	0.02	0.02	0.02	0.02	0.02	0.02	0.03	0.02
<i>Thalamita crenata</i> (JX398104.1)	0.10	0.10	0.10	0.10	0.10	0.10	0.10	0.10	0.10	0.11	0.10	0.10	0.10	0.10	0.02	0.02	0.02	0.02	0.02	0.03	0.02
<i>Thalamita sima</i> (JX502946.1)	0.13	0.13	0.13	0.13	0.14	0.13	0.13	0.13	0.13	0.13	0.13	0.13	0.15	0.02	0.02	0.02	0.02	0.02	0.03	0.02	
<i>Thalamita prymna</i> (JX398103.1)	0.14	0.14	0.14	0.14	0.14	0.14	0.14	0.14	0.14	0.14	0.14	0.14	0.14	0.14	0.02	0.02	0.02	0.02	0.02	0.03	0.02
<i>Thalamita admete</i> (JQ180240.1)	0.18	0.18	0.18	0.18	0.18	0.18	0.18	0.18	0.18	0.18	0.18	0.18	0.17	0.19	0.19	0.03	0.03	0.03	0.02	0.02	0.03
<i>Charybdis hellerii</i> (JX123454.1)	0.18	0.18	0.18	0.18	0.18	0.18	0.18	0.18	0.18	0.18	0.18	0.18	0.17	0.19	0.23	0.02	0.02	0.02	0.03	0.02	
<i>Charybdis variegata</i> (EU284142.1)	0.20	0.20	0.20	0.20	0.20	0.20	0.20	0.20	0.20	0.21	0.20	0.20	0.19	0.17	0.19	0.22	0.11	0.00	0.02	0.03	0.00
<i>Charybdis japonica</i> (EU586120.1)	0.20	0.20	0.20	0.20	0.20	0.20	0.20	0.20	0.20	0.21	0.20	0.20	0.19	0.17	0.19	0.22	0.11	0.00	0.02	0.03	0.00
<i>Charybdis feriatus</i> (EU284140.1)	0.18	0.18	0.18	0.18	0.18	0.18	0.18	0.18	0.18	0.19	0.18	0.18	0.17	0.14	0.17	0.19	0.16	0.15	0.15	0.03	0.02
<i>Scylla serrata</i> (KF612462.1)	0.20	0.20	0.20	0.20	0.20	0.20	0.20	0.20	0.20	0.21	0.20	0.20	0.20	0.21	0.19	0.20	0.21	0.22	0.22	0.03	
<i>Gaeotice depressus</i> (HM180588.1) Family: Varunidae	0.20	0.20	0.20	0.20	0.20	0.20	0.20	0.20	0.20	0.21	0.20	0.20	0.19	0.17	0.19	0.22	0.11	0.00	0.05	0.22	

ตารางที่ 6 (ต่อ)

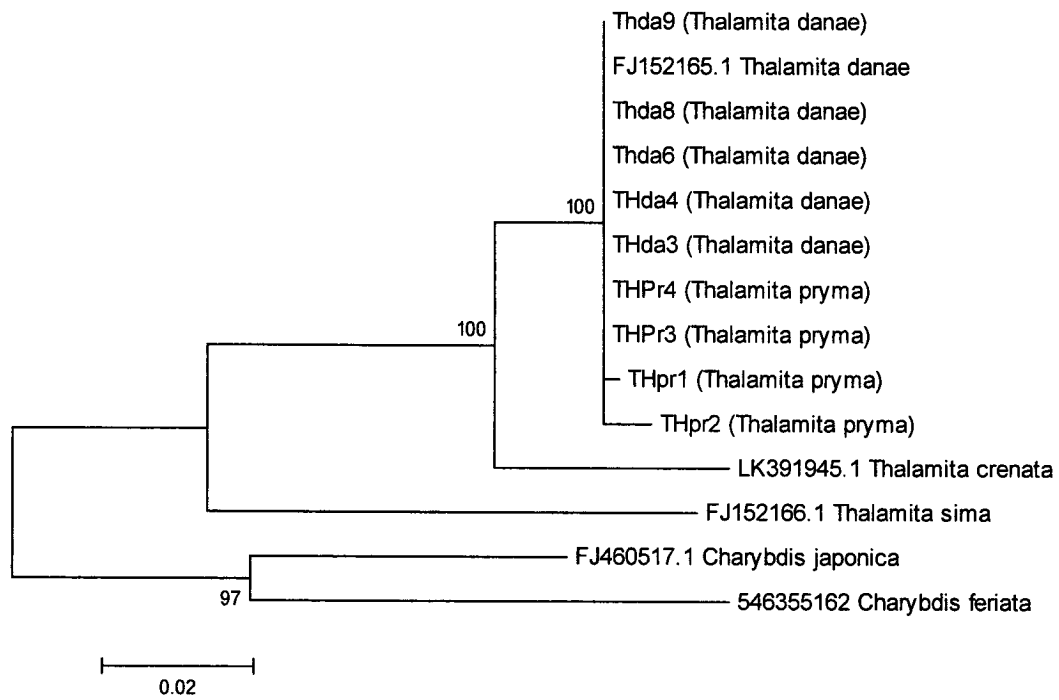
(b) ยืน 16S (T92+)

THpr1 ( <i>Thalamita pryma</i> )	0.00	0.00	0.00	0.00	0.00	0.00	0.00	0.00	0.00	0.01	0.01	0.02	0.01
THpr2 ( <i>Thalamita pryma</i> )	0.01		0.00	0.00	0.00	0.00	0.00	0.00	0.00	0.01	0.02	0.02	0.01
THpr3 ( <i>Thalamita pryma</i> )	0.00	0.01		0.00	0.00	0.00	0.00	0.00	0.00	0.01	0.01	0.02	0.01
THpr4 ( <i>Thalamita pryma</i> )	0.00	0.01	0.00		0.00	0.00	0.00	0.00	0.00	0.01	0.01	0.02	0.01
THda3 ( <i>Thalamita danae</i> )	0.00	0.01	0.00	0.00		0.00	0.00	0.00	0.00	0.01	0.01	0.02	0.01
THda4 ( <i>Thalamita danae</i> )	0.00	0.01	0.00	0.00	0.00		0.00	0.00	0.00	0.01	0.01	0.02	0.01
THda6 ( <i>Thalamita danae</i> )	0.00	0.01	0.00	0.00	0.00	0.00		0.00	0.00	0.01	0.01	0.02	0.01
THda8 ( <i>Thalamita danae</i> )	0.00	0.01	0.00	0.00	0.00	0.00		0.00	0.00	0.01	0.01	0.02	0.01
THda9 ( <i>Thalamita danae</i> )	0.00	0.01	0.00	0.00	0.00	0.00	0.00		0.00	0.01	0.01	0.02	0.01
FJ152165.1 <i>Thalamita danae</i>	0.00	0.01	0.00	0.00	0.00	0.00	0.00	0.00		0.01	0.01	0.02	0.01
LK391945.1 <i>Thalamita crenata</i>	0.04	0.05	0.04	0.04	0.04	0.04	0.04	0.04	0.04		0.01	0.02	0.01
FJ460517.1 <i>Charybdis japonica</i>	0.10	0.10	0.10	0.10	0.10	0.10	0.10	0.10	0.10	0.11		0.01	0.02
546355162 <i>Charybdis feriata</i>	0.12	0.12	0.12	0.12	0.12	0.12	0.12	0.12	0.12	0.13	0.09		0.02
FJ152166.1 <i>Thalamita sima</i>	0.09	0.10	0.09	0.09	0.09	0.09	0.09	0.09	0.09	0.10	0.12	0.12	



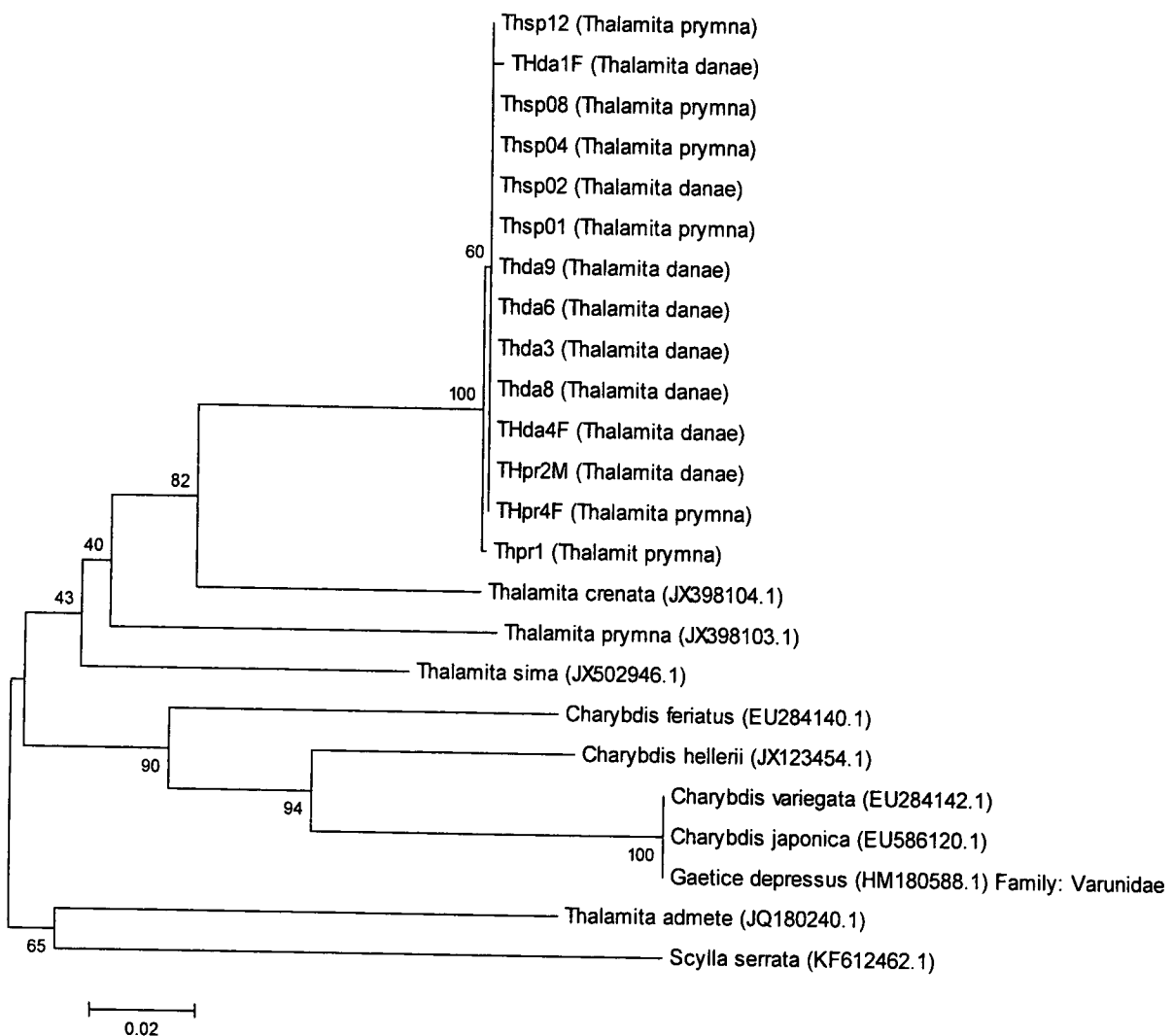
(a) ยีน COI

ภาพที่ 3 แผนภูมิแสดงความสัมพันธ์ทางวิถีของการของปูม้าหิน *Thalamita* ที่สร้างด้วยวิธีการ Maximum Likelihood จากข้อมูลลำดับนิวคลีโอไทด์บางส่วนของ (a) ยีน COI บนไมโทคอนเดรีย ที่อยู่บนฐานของโมเดล Tamura-Nei (TN93+G) ซึ่งแผนภูมิที่แสดงมีค่า log likelihood มากที่สุด (-2253.0454) ใช้ข้อมูลทั้งสิ้น 527 ตำแหน่งและ (b) ยีน 16S rRNA ที่อยู่บนฐานของโมเดล Tamura-3-parameter (T92+I, Tamura 1992) ซึ่งยอมให้มีการทำบบริเวณที่ไม่มีความแปรปรวน ซึ่งแผนภูมิที่แสดงมีค่า log likelihood มากที่สุด (-1281.6149) ใช้ข้อมูลทั้งสิ้น 517 ตำแหน่ง เปอร์เซ็นต์สนับสนุนการจัดกลุ่ม คือร้อยละของแผนภูมิที่ได้จากการสุ่มช้ำ (bootstrap) 1000 ครั้ง ความยาวแขนงระหว่างกลุ่มอนุกรมวิธานบนแผนภูมิฯ คือจำนวนการแทนที่เบสต์ต่อตำแหน่ง แผนภูมิเริ่มต้นสำหรับการทำแผนภูมิที่ดีที่สุดหาโดยใช้แนวทาง heuristic search และสร้างโดยวิธีการ Neigbor-Join หรือ BIONJ ที่ใช้ข้อมูลระยะทางทางพันธุกรรมของคู่ตัวอย่าง คำนวณโดย Maximum Composit matrix



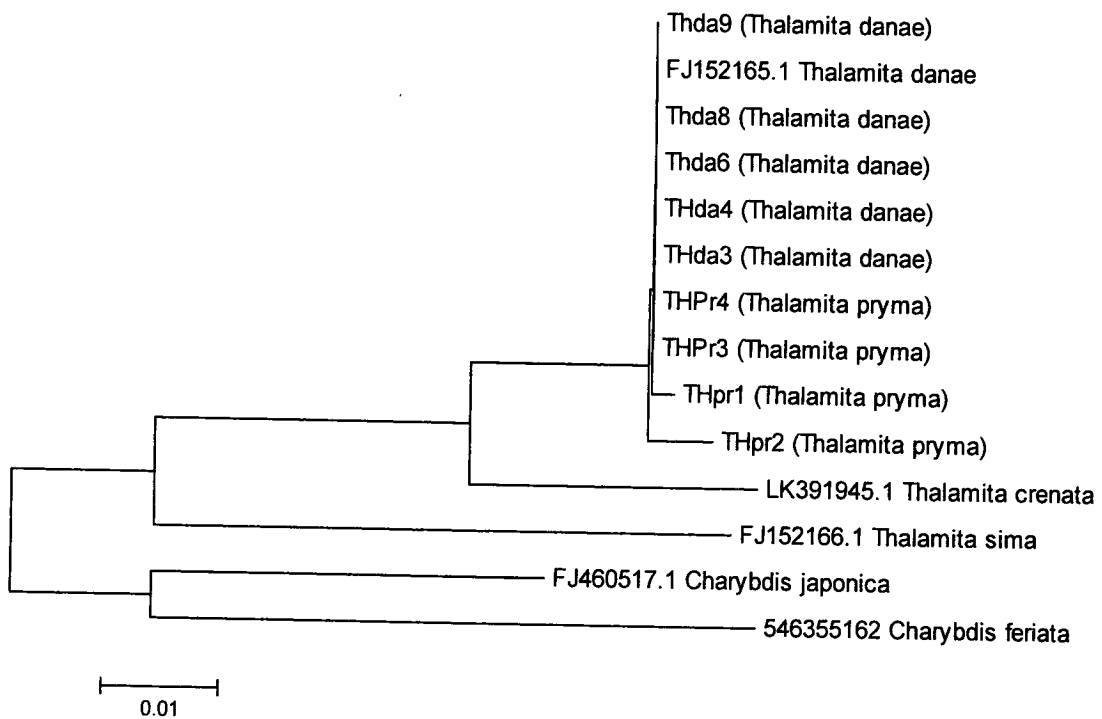
(b) ยีน 16S rRNA

ภาพที่ 3 (ต่อ)



(a) ยีน COI

ภาพที่ 4 แผนภูมิแสดงความสัมพันธ์ทางวิถีของการของปูม้าหิน *Thalamita* ที่สร้างจากลำดับนิวคลีโอไทด์บางส่วนของ (a) ยีน COI และ (b) ยีน 16S rRNA บนไมโครคอนเดรีย ด้วยใช้วิธีการ Minimum Evolution โดยเดลที่ใช้คือ Tamura-Nei (TN93+G, Timura and Nei 1993) โดยใช้ข้อมูล จำนวนทั้งสิ้น 527 ตำแหน่ง และ Tamura-3-parameter (T92+I, Tamura 1992) โดยใช้ข้อมูลทั้งสิ้นจำนวน 517 ตำแหน่ง สำหรับยีน COI และ 16S ตามลำดับ เปอร์เซ็นสนับสนุนการจัดกลุ่ม คือร้อยละของแผนภูมิที่ได้จากการสุ่มช้ำ (bootstrap) 1000 ครั้ง สร้างแผนภูมิริมต้นโดยวิธี Neighbor-Joining การหาแผนภูมิฯ ใช้วิธี Close-Neighbor-Interchange (CNI) algorithm



(b) ยีน 16S rRNA

ภาพที่ 4 (ต่อ)

#### ความแปรปรวนของลำดับนิวคลีโอไทด์ และความแตกต่างทางพันธุกรรมของปูลม

ปูลมที่พบที่หมู่เกาะแสมสารน่าจะประกอบไปด้วยปูลมเพียงชนิดเดียวคือ *Ocypode ceratophthalmus* เมื่อพิจารณาด้วยความแปรปรวนของสายนิวคลีโอไทด์ของยีนสามตำแหน่ง โดยยีนที่มีความแปรปรวนสูงสุดคือยีน COI (สัดส่วนตำแหน่งที่มีความแปรปรวนเท่ากับร้อยละ 0.01) และยีนที่มีความแปรปรวนต่ำที่สุดคือยีน Histone H3

ตารางที่ 7 ความหลากหลายทางพันธุกรรม และข้อมูลสถิติของลำดับนิวคลีโอไทด์ของตัวอย่าง ปูลม คือ *Ocypode ceratophthalmus* ที่รวบรวมจากหมู่เกาะแสมสาร

	COI	16S	Histone H3
Total number of nucleotides (bp)	623	523	297
Number of sequence	8	6	8
Variable sites	8 (0.01%)	4 (0.007%)	0
Parsimony informative sites	2 (0.003%)	0	0
Mean T content	34.2	35.0	20.1
Mean C content	21.0	10.6	31.0
Mean A content	27.5	34.8	22.1
Mean G content	17.4	19.6	26.9

ชนิดพันธุ์ปูมของหมู่เกาะแสมสารที่วิเคราะห์ในครั้งนี้ นำจะตรงกับ *Ocypode ceratophthalmus* เนื่องจากมีระดับความคล้ายกับนิวคลีโอไทด์ของ *Ocypode ceratophthalmus* ในฐานข้อมูล GenBank ถึงร้อยละ 98-99 (ตารางที่ 8) ยืน COI และ 16S rRNA มีความสามารถในการบ่งชี้ความแตกต่างของสปีชีส์ในสกุลเดียวกันได้กว่า Histone H3 โดยต่างสปีชีส์ในสกุลเดียวกันมีระดับความคล้ายกันของนิวคลีโอไทด์ร้อยละ 87-92 สำหรับยืน COI และ 16S rRNA ในขณะที่ยืน Histone H3 แสดงระดับความคล้ายกันที่ร้อยละ 97-98

ตารางที่ 8 ระดับความเหมือน (% identity) ของลำดับนิวคลีโอไทด์ของปูมตามรา *Ocypode ceratophthalmus* ที่รวมมาจากเกาะแสมสาร จังหวัดชลบุรี เมื่อเทียบกับสายนิวคลีโอไทด์ที่ยืนตำแหน่งเดียวกันที่มีรายงานในฐานข้อมูล GenBank ที่ดีอีนเอบริเวณ (a) ยืน COI (b) ยืน 16S rRNA และ (c) ยืน Histone H3

(a) ยืน COI

ตัวอย่างปูม	ข้อมูล GenBank ของยืน COI		
	รายละเอียดข้อมูล	จำนวนเบสที่เทียบเคียง (และ % Identities)	% Coverage
Occe1 – Occe8	<i>Ocypode ceratophthalmus</i> (LN611669.1)	682 (99)	100%
	<i>O. platytarsis</i> (KF633174.1)	638 (92)	93%
	<i>O. stimpsoni</i> (JX502934.1)	657 (89)	96%
	<i>O. mortoni</i> (AB751388.1)	635 (89)	92%
	<i>O. sinensis</i> (AB751392.1)	637 (87)	92%
	<i>Hemigrapsus penicillatus</i> (HM180611.1)	682 (85)	99%

(b) ยืน 16S rRNA

ตัวอย่างปูม	ข้อมูล GenBank ของยืน 16S rRNA		
	รายละเอียดข้อมูล	จำนวนเบสที่เทียบเคียง (และ % Identities)	% Coverage
Occe1, Occe2, Occe4, Occe5, Occe7, Occe8	<i>Ocypode ceratophthalmus</i> (LN611669.1)	552 (99)	100
	<i>O. ryderii</i> (AM180689.1)	537 (89)	96
	<i>O. quadrata</i> (FN539018.1)	522(89)	94
	<i>Ucides cordatus</i> (FN539019.1)	543 (83)	96
	<i>Uca rapax</i> (AB813665.1)	541 (84)	96

## ตารางที่ 8 (ต่อ)

### (c) ยีน Histone H3

ตัวอย่างปูม	ข้อมูล GenBank ของยีน Histone H3		
	รายละเอียดข้อมูล	จำนวนเบสที่เทียบเคียง (และ % Identities)	% Coverage
Occe1 – Occe8	<i>Ocypode quadrata</i> (FN434069.1)	328 (98)	88
	<i>Ocypode ceratophthalmus</i> (KJ133152.1)	294 (99)	79
	<i>Ocypode sinensis</i> (KJ133153.1)	294 (97)	79
	<i>Ucides cordatus</i> (FN434070.1)	327 (94)	88

ค่าระยะห่างทางพันธุกรรมที่คำนวณจากลำดับนิวคลีโอไทด์ของยีน COI และ 16S rRNA (ตารางที่ 9) และแผนภูมิแสดงความสัมพันธ์ทางวิถีของการสร้างจากข้อมูลนิวคลีโอไทด์ของยีนตัวแทนเดียวกัน (ภาพที่ 5 และ 6) แสดงให้เห็นว่าตัวอย่างปูมจากหมู่เกาะแสมสารประกอบไปด้วยปูเพียง 1 ชนิดคือ *Ocypode ceratophthalmus* เนื่องจากไม่มีความแตกต่างทางพันธุกรรมระหว่างตัวอย่างจากแสมสารด้วยกันเอง และระหว่างตัวอย่างจากแสมสารกับสายนิวคลีโอไทด์ของ *O. ceratophthalmus* ในฐานข้อมูล GenBank (ระยะห่างทางพันธุกรรมระยะห่างทางพันธุกรรมเท่ากับ 0-0.01 และ 0-0.004 สำหรับยีน COI และ 16S ตามลำดับ) และการวิเคราะห์ความสัมพันธ์ทางวิถีของการได้จัดกลุ่มให้ตัวอย่างทั้งหมด ให้เป็นกลุ่มเดียวกัน และเป็นกลุ่มเดียวกับตัวอย่าง *O. ceratophthalmus* จากฐานข้อมูล GenBank เมื่อวิเคราะห์ลำดับนิวคลีโอไทด์ของทั้งสองยีน โดยค่าสนับสนุนการจัดกลุ่มมีค่าระหว่างร้อยละ 96 ถึง 100 ของการสุมแผนภูมิฯ ทั้งหมด

การวิเคราะห์ความสัมพันธ์ทางวิถีของการของยีนทั้งสองตัวแทนแสดงการจัดหมวดหมู่ของปูมในสกุล *Ocypode* ในลักษณะ monophyletic โดยจัดกลุ่มปูมเงินสนี้ไว้ในหมวดหมู่เดียวกัน ซึ่งต่างจากปูสกุลอื่นที่อยู่ในแฟมิลีเดียกัน

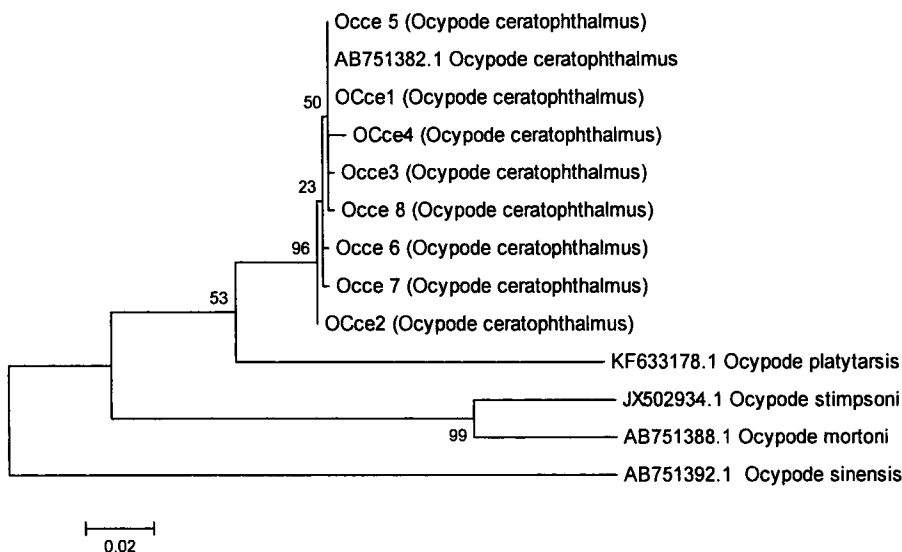
ตารางที่ 9 ค่าระยะห่างทางพันธุกรรมระหว่างตัวอย่างปูลม (แนวล่างเส้นทധงมุน) โดยคำนวณจากจำนวนการแทนที่นิวคลีโอไทด์ต่อตำแหน่ง เฉลี่ยระหว่างคู่สายนิวคลีโอไทด์ที่ (a) ยืน COI (13 สาย ที่ความยาว 527 คู่เบส) ด้วยโมเดล Tamura-Nei ที่รวมความแปรปรวนของอัตราการเปลี่ยนทางวิวัฒนาการระหว่างตำแหน่ง (G) และ (b) ยืน 16S rRNA (11 สาย ที่ความยาว 508 คู่เบส) ด้วยโมเดล Maximum Composit likelihood ที่มีสัดส่วนของสายนิวคลีโอไทด์ที่ไม่มีการเปลี่ยนแปลง ส่วนค่า Standard error แสดงเหนือเส้นทധงมุน

(a) ยืน COI (TN93+G)

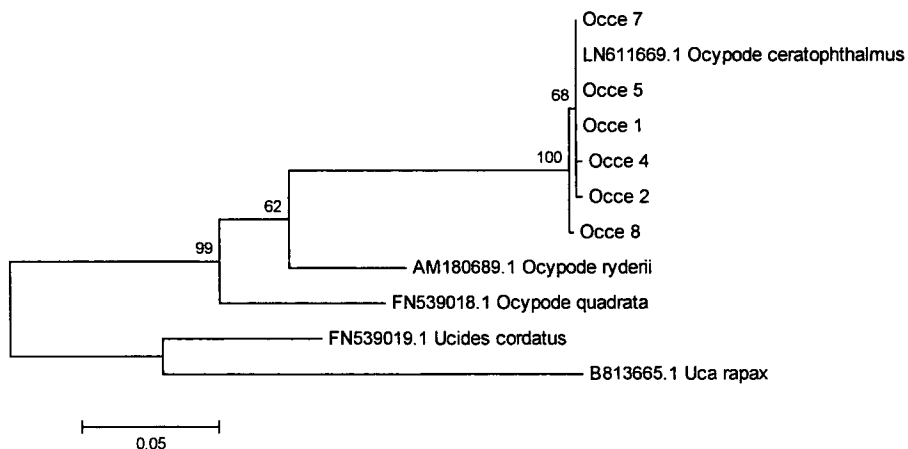
Occe1 ( <i>Ocypode ceratophthalmus</i> )	0.00	0.00	0.00	0.00	0.00	0.00	0.00	0.00	0.01	0.02	0.02	0.02	
Occe2 ( <i>Ocypode ceratophthalmus</i> )	0.00		0.00	0.00	0.00	0.00	0.00	0.00	0.01	0.02	0.02	0.02	
Occe3 ( <i>Ocypode ceratophthalmus</i> )	0.00	0.00		0.00	0.00	0.00	0.00	0.00	0.01	0.02	0.02	0.02	
Occe4 ( <i>Ocypode ceratophthalmus</i> )	0.00	0.01	0.01		0.00	0.00	0.00	0.00	0.01	0.02	0.02	0.02	
Occe5 ( <i>Ocypode ceratophthalmus</i> )	0.00	0.00	0.00	0.00		0.00	0.00	0.00	0.01	0.02	0.02	0.02	
Occe6 ( <i>Ocypode ceratophthalmus</i> )	0.00	0.00	0.00	0.01	0.00		0.00	0.00	0.01	0.02	0.02	0.02	
Occe7 ( <i>Ocypode ceratophthalmus</i> )	0.00	0.00	0.00	0.01	0.00	0.00		0.00	0.01	0.02	0.02	0.02	
Occe8 ( <i>Ocypode ceratophthalmus</i> )	0.00	0.00	0.00	0.01	0.00	0.00	0.00		0.01	0.02	0.02	0.02	
AB751382.1 <i>Ocypode ceratophthalmus</i>	0.00	0.00	0.00	0.00	0.00	0.00	0.00		0.01	0.02	0.02	0.02	
KF633178.1 <i>Ocypode platytarsis</i>	0.09	0.09	0.09	0.09	0.09	0.09	0.09	0.09		0.02	0.02	0.02	
JX502934.1 <i>Ocypode stimpsoni</i>	0.12	0.12	0.12	0.13	0.12	0.13	0.13	0.12	0.12	0.15		0.01	0.02
AB751388.1 <i>Ocypode mortoni</i>	0.13	0.12	0.13	0.13	0.13	0.13	0.12	0.13	0.13	0.15	0.07		0.02
AB751392.1 <i>Ocypode sinensis</i>	0.15	0.15	0.15	0.16	0.15	0.15	0.15	0.15	0.15	0.19	0.19	0.16	

**(b) ຢືນ 16S rRNA (Maximum Composite Likelihood+I)**

Occe 1		0.002	0.002	0.000	0.000	0.003	0.067	0.096	0.000	0.236	0.555	
Occe 2		0.002		0.003	0.002	0.002	0.004	0.070	0.100	0.002	0.231	0.551
Occe 4		0.002	0.004		0.002	0.002	0.004	0.067	0.096	0.002	0.235	0.554
Occe 5		0.000	0.002	0.002		0.000	0.003	0.067	0.096	0.000	0.236	0.555
Occe 7		0.000	0.002	0.002	0.000		0.003	0.067	0.096	0.000	0.236	0.555
Occe 8		0.004	0.006	0.006	0.004	0.004		0.067	0.096	0.003	0.237	0.555
AM180689.1 <i>Ocypode ryderii</i>		0.112	0.114	0.115	0.112	0.112	0.112		0.050	0.067	0.185	0.509
FN539018.1 <i>Ocypode quadrata</i>		0.132	0.134	0.135	0.132	0.132	0.132	0.098		0.096	0.188	0.423
LN611669.1 <i>Ocypode ceratophthalmus</i>		0.000	0.002	0.002	0.000	0.000	0.004	0.112	0.132		0.236	0.555
FN539019.1 <i>Ucides cordatus</i>		0.168	0.165	0.171	0.168	0.168	0.168	0.157	0.146	0.168		0.093
B813665.1 <i>Uca rapax</i>		0.196	0.193	0.199	0.196	0.196	0.196	0.195	0.174	0.196	0.120	

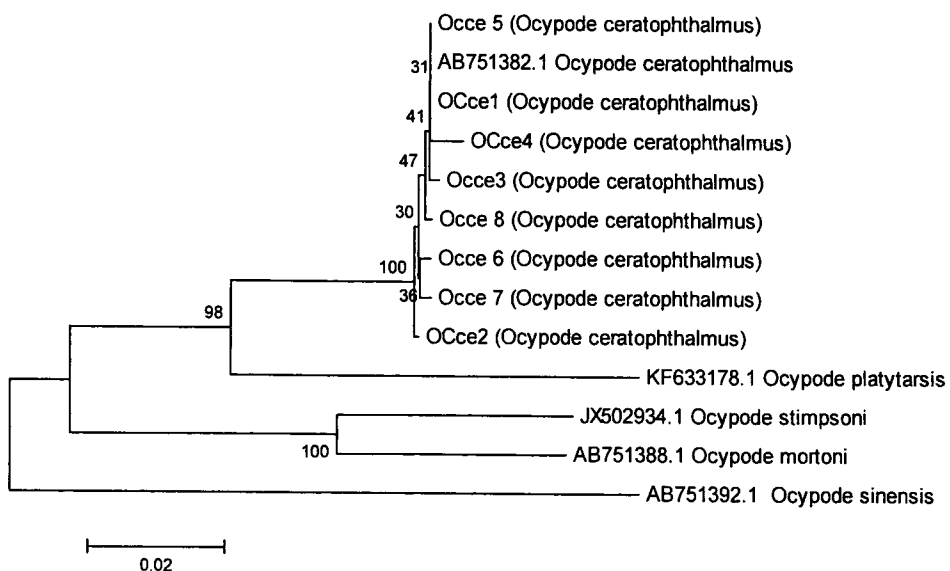


(a) ยีน COI (TN93+G)

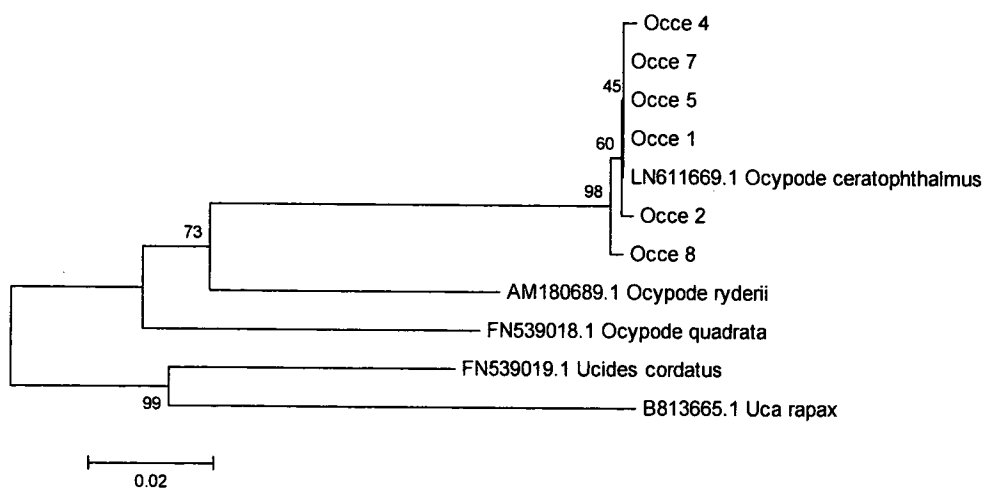


(b) 16S rRNA (HKY+I)

ภาพที่ 5 แผนภูมิแสดงความสัมพันธ์ทางวิวัฒนาการของปูลม ที่สร้างด้วยใช้วิธีการ Maximum likelihood จากข้อมูลลำดับนิวคลีโอไทด์บางส่วนของ (a) ยีน COI บนไมโทคอนเดรีย ที่อยู่บนฐานของโมเดล Tamura-Nei (TN93+G) ซึ่งแผนภูมิที่แสดงมีค่า log likelihood มากที่สุด (-1749.9872) ใช้ข้อมูลทั้งสิ้น 623 ตำแหน่ง และ (b) ยีน 16S rRNA ที่อยู่บนฐานของโมเดล Hasegawa-Kishino-Yano (HKY+I, Hasegawa et al. 1985) ซึ่งยอมให้มีการกำหนดบิริเวณที่ไม่มีความแปรปรวน ซึ่งแผนภูมิที่แสดงมีค่า log likelihood มากที่สุด (-1405.1147) ใช้ข้อมูลทั้งสิ้น 508 ตำแหน่ง เปอร์เซ็นต์สนับสนุนการจัดกลุ่ม คือร้อยละของแผนภูมิที่ได้จากการสุ่มซ้ำ (bootstrap) 1000 ครั้ง ความหมายระหว่างกลุ่มอนุกรมวิธานบนแผนภูมิ คือจำนวนการแทนที่เบสต์อ็อฟตำแหน่ง แผนภูมิเริ่มต้นสำหรับการหาแผนภูมิที่ดีที่สุดทำโดยใช้แนวทาง heuristic search และสร้างโดยวิธีการ Neighbor-Join หรือ BIONJ ที่ใช้ข้อมูลระยะห่างทางพันธุกรรมของคู่ตัวอย่าง คำนวณโดย Maximum Composite matrix



(a) COI (TN93+G)



(b) 16S rRNA (Maximum composite likelihood+G)

ภาพที่ 6 แผนภูมิแสดงความสัมพันธ์ทางวิวัฒนาการของปูลม ที่สร้างจากลำดับนิวคลีโอไทด์บางส่วนของ (a) ยีน COI และ (b) ยีน 16S rRNA บนไมโครคอนเดรีย ด้วยใช้วิธีการ Minimum Evolution (Rzhetsky and Nei 1992) โดยใช้ค่า Tamura-Nei (TN93+G, Timura and Nei 1993) โดยใช้ข้อมูลจำนวนทั้งสิ้น 623 ตำแหน่ง สำหรับยีน COI และ โดยเดล Maximum composite likelihood โดยใช้ข้อมูลทั้งสิ้นจำนวน 508 ตำแหน่ง สำหรับ 16S เปอร์เซ็นต์สนับสนุนการจัดกลุ่ม คือร้อยละของแผนภูมิที่ได้จากการสุ่มซ้ำ (bootstrap) 1000 ครั้ง สร้างแผนภูมิเริ่มต้นโดยวิธี Neighbor-Joining การหาแผนภูมิฯ ใช้วิธี Close-Neighbor-Interchange (CNI) algorithm

ความแปรปรวนของของลำดับนิวคลีอไทด์ และความแตกต่างทางพันธุกรรมของกุ้งดีดขันที่พบในจังหวัดชลบุรี

ยืน 16S rRNA มีความแปรปรวนเพียงพอที่จะบ่งชีสปีชีส์ ภายในจีนสของกุ้งดีดขันสกุล *Alpheus* ที่พบในจังหวัดชลบุรี ได้ โดยมีสัดส่วนตำแหน่งที่มีความแปรปรวนเท่ากับร้อยละ 17 องค์ประกอบของสายนิวคลีอไทด์ที่ทำແเนกนีชของกุ้งดีดขัน มีค่าใกล้เคียงกันกับกุ้งและปูชนิดอื่นๆ (ตารางที่ 3, 4 และ 7) แสดงให้เห็นว่าไพรเมอร์ที่ใช้สามารถเพิ่มปริมาณดีเอ็นเอ ที่บริเวณใกล้เคียงกัน

ตารางที่ 10 ความหลากหลายทางพันธุกรรม และข้อมูลสถิติของลำดับนิวคลีอไทด์ของยืน 16S rRNA ของตัวอย่างกุ้งดีดขันสกุล *Alpheus* ที่รวบรวมจากจังหวัดชลบุรี

	ยืน 16S
Total number of nucleotides (bp)	11
Number of sequence	516
Variable sites	90 (17%)
Parsimony informative sites	88 (17%)
Mean T content	31.8
Mean C content	13.0
Mean A content	29.9
Mean G content	25.3

ชนิดพันธุ์ของกุ้งดีดขัน *Alpheus* ที่พบในจังหวัดชลบุรี ค่อนข้างจะแตกต่างจากชนิดพันธุ์อื่นที่มีรายงานในฐานข้อมูล GenBank (ตารางที่ 11) โดยระดับความเหมือน (% identity) ที่ยืน 16S rRNA ที่มากที่สุดคือร้อยละ 88-91 ซึ่งเป็นระดับที่แสดงความแตกต่างระดับสปีชีส์ ระดับความคล้ายที่ปรากฏ ยังยืนยันว่าการศึกษานี้ได้เพิ่มยืน 16S rRNA

ตารางที่ 11 ระดับความเหมือน (% identity) ของลำดับนิวคลีอไทด์บริเวณ 16S rRNA ของกุ้งดีดขัน *Alpheus spp.* ที่รวบรวมจากเกาะเสม็ด จังหวัดชลบุรี เมื่อเทียบกับสายนิวคลีอไทด์ที่ยืนตำแหน่งเดียวกันที่มีรายงานในฐานข้อมูล GenBank

ตัวอย่างกุ้งดีดขัน	ข้อมูล GenBank ของยืน 16S rRNA		
	รายละเอียดข้อมูล	จำนวนเบสที่เทียบเคียง (และ % Identity)	% Coverage
<i>Alpheus rapacida</i> (Alra 1-Alra4)	<i>Alpheus distinguendus</i> (GQ892049.1) <i>Alpheus cf.</i> <i>armillatus</i> (FJ528445.1)	510 (91) 510 (89)	100 99

	<i>A. scopulus</i> (FJ528446.1X)	510 (88)	99
	<i>A. buckupi</i> (JX286604.1)	520 (87)	100
	<i>A. petronioi</i> (KF667545.1)	511 (86)	99
	<i>A. pontederiae</i> (KC525923.1)	511 (85)	99
	<i>A. chacei</i> (JX286606.1)	511 (85)	99
	<i>A. estuariensis</i> (JX286607.1)	516 (84)	99
	<i>A. angulosus</i> (AF501637.1)	516 (84)	99
<i>A. serenei</i> (Alse1-Alse4)	<i>Alpheus pontederiae</i> (KC525923.1)	512 (88)	100
	<i>A. microrhynchus</i> (JX286612.1)	518 (88)	100
	<i>Alpheus aff. euphrosyne</i> (JX286609.1)	516 (88)	100
	<i>A. petronioi</i> (KF667545.1)	513 (88)	99
	<i>A. heterochaelis</i> (JX286610.1)	513 (88)	99
	<i>A. chacei</i> (JX286606.1)	512 (88)	99
	<i>A. estuariensis</i> (JX286607.1)	512 (86)	99
	<i>A. buckupi</i> (JX286603.1)	518 (86)	100
	<i>A. lobidens</i> (JX286611.1)	520 (85)	99
<i>Alpheus sp.</i>	<i>Alpheus distinguendus</i> (GQ892049.1)	512 (91)	100
	<i>Alpheus scopulus</i> (FJ528446.1)	510 (88)	99
	<i>A. buckupi</i> (JX286604.1)	519 (87)	100
	<i>A. hyeyoungae</i> (FJ528479.1)	513 (86)	99
	<i>A. armillatus</i> (FJ528468.1)	511 (86)	100
	<i>A. petronioi</i> (KF667544.1)	509 (85)	99
	<i>A. heterochaelis</i> (JX286610.1)	513 (85)	100
	<i>A. estuariensis</i> (JX286607.1)	513 (85)	99

ระยะห่างทางพันธุกรรมที่คำนวณจากความแตกต่างของลำดับนิวคลีโอไทด์ระหว่างตัวอย่าง (ตารางที่ 12) แสดงค่าความแตกต่างของลำดับนิวคลีโอไทด์ของกุ้งชนิดเดียวกันมีค่าเท่ากับ 0 ในขณะที่ความต่างระหว่างสปีชีส์ในสกุล *Alpheus* (ไม่รวม *Alpheus sp.*) มีค่าระหว่าง 0.09 (*A. rapacida* กับ *A. distinguendus*) ถึง 0.245 (*A. rapacida* กับ *Alpheus aff. euphrosyne*)

*Alpheus sp.* น่าจะเป็นชนิดพันธุ์ที่แตกต่างจากสปีชีส์อื่นๆ ที่พบในชลบุรี (ตารางที่ 12) แม้ว่ากุ้งชนิดนี้จะมีักษณะสัณฐานค่อนข้างใกล้เคียงกับ *Alpheus rapacida* ซึ่งจะมีจุดต่างคือ ขนาดของจุดสีน้ำตาลบนปล้องที่สีของลำตัวซึ่งจุดของ *A. rapacida* จะใหญ่กว่าของ *Alpheus sp.* โดยระดับความแตกต่างของสายนิวคลีโอไทด์ *Alpheus sp.* กับ *A. rapacida* มีค่าเท่ากับ 0.03 ถึง 0.04 (ร้อยละ 3 ถึง 4) และแตกต่างจาก *A. serenie* ถึง 0.20 (ร้อยละ 20)

นอกจากนี้ แผนภูมิความสัมพันธ์ทางวิวัฒนาการ ที่สร้างจากทั้งแบบ Maximum Likelihood (ภาพที่ 7) และ Minimum Evolution (ภาพที่ 8) ยังแสดงให้เห็นว่า *Alpheus* sp. มีความใกล้ชิดทางพันธุกรรมมากกับ *A. rapacida* มากกว่า *A. serenie* (ค่า bootstrap = 100%)

การจัดกลุ่มด้วยวิธีที่แตกต่างกัน (Maximum Likelihood และ Minimum Evolution) ให้ผลคล้ายกันโดยมีการแบ่งกลุ่มกุ้งดีดขัน สกุล *Alpheus* ได้ 2-3 กลุ่ม (ภาพที่ 7 และ 8) โดยตัวอย่างที่สเปซีส์เดียวกันจะเกาะกลุ่มเดียวกัน (ค่า bootstrap = 99-100%) อย่างไรก็ตามตำแหน่งของการจัดกลุ่มของบางชนิด (โดยเฉพาะกลุ่มของ *Alpheus* sp. กับ *A. rapacida*) ผันแปรตามวิธีการสร้างแผนภูมิฯ

แผนภูมิความสัมพันธ์ทางวิวัฒนาการ ที่สร้างจากโดยใช้วิธี Maximum Likelihood สามารถจัดกลุ่มในสกุล *Alpheus* ได้ 2 กลุ่มใหญ่คือ

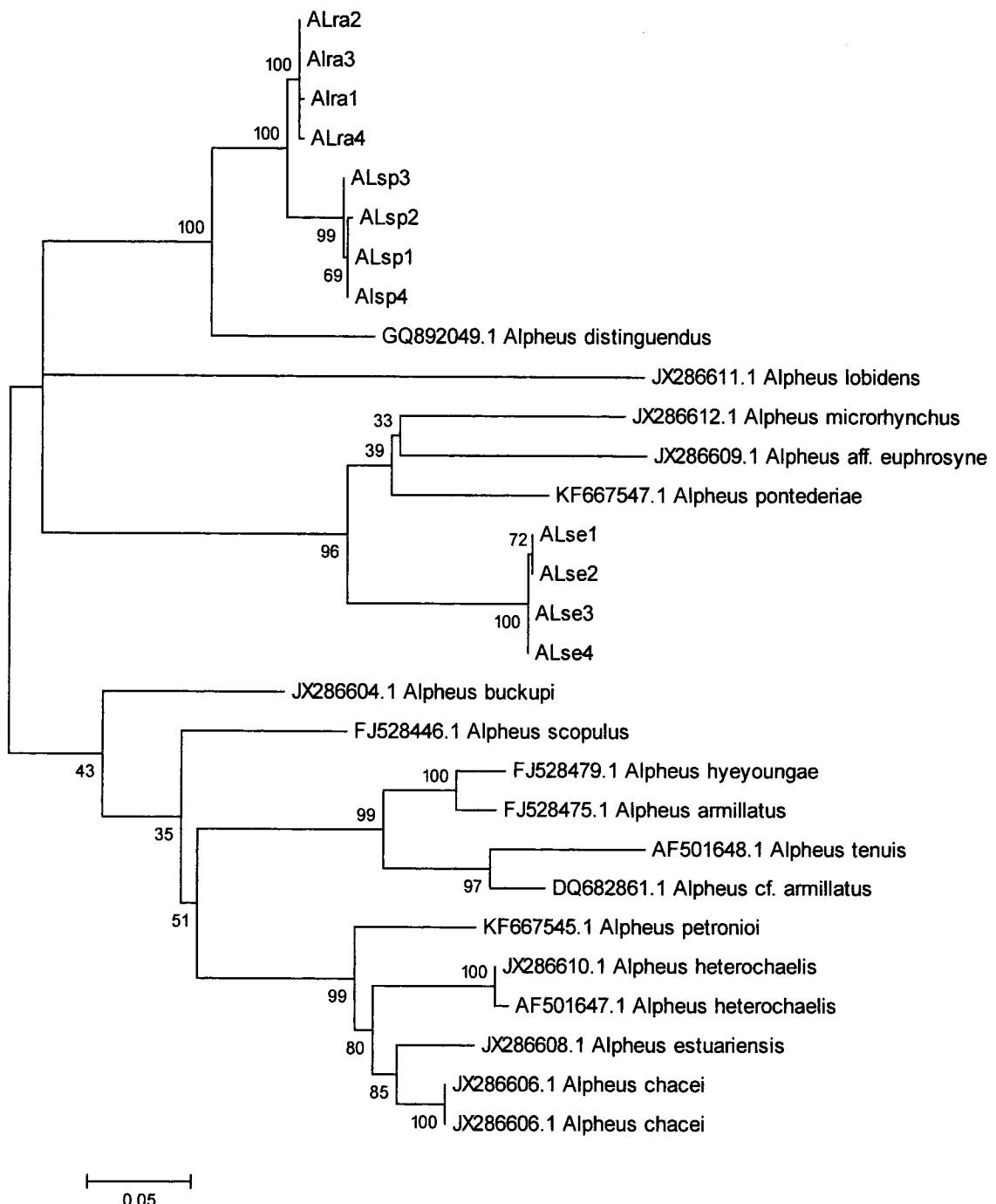
กลุ่มที่ (1) ประกอบด้วยกุ้งดีดขันจากชลบุรีทั้งสามชนิด *A. serenie*, *A. rapacida* และ *Alpheus* sp. อยู่ในกลุ่มร่วมกับกุ้งดีดขันที่มีรายงานในฐานข้อมูล GenBank คือ *A. microrhynchus*, *A. aff. euphrosyne*, *A. lobidens* และ *A. distingendus* ทั้งนี้ *Alpheus* sp. มีลักษณะทางพันธุกรรมคล้ายกับ *A. rapacida* และ *A. distingendus* มากกว่ากุ้งชนิดอื่นๆ ในกลุ่ม

กลุ่มที่ (2) ประกอบด้วย *Alpheus chacei*, *A. estuariensis*, *A. heterochaelis*, และ *A. petronioi* (Bootstrap ของกลุ่มนี้ค่า 99 %) ร่วมกับ *Alpheus cf. armillatus*, *A. tenuis*, *A. amillatus*, *A. hyeyoungae*, *Alpheus scopulus* และ *A. bukupi* ค่า bootstrap ที่ไม่สูงมากนักในกลุ่มนี้ (โดยเฉพาะ *A. scopulus* และ *A. bukupi*) น่าจะสะท้อนความคล้ายกันภายในกลุ่ม

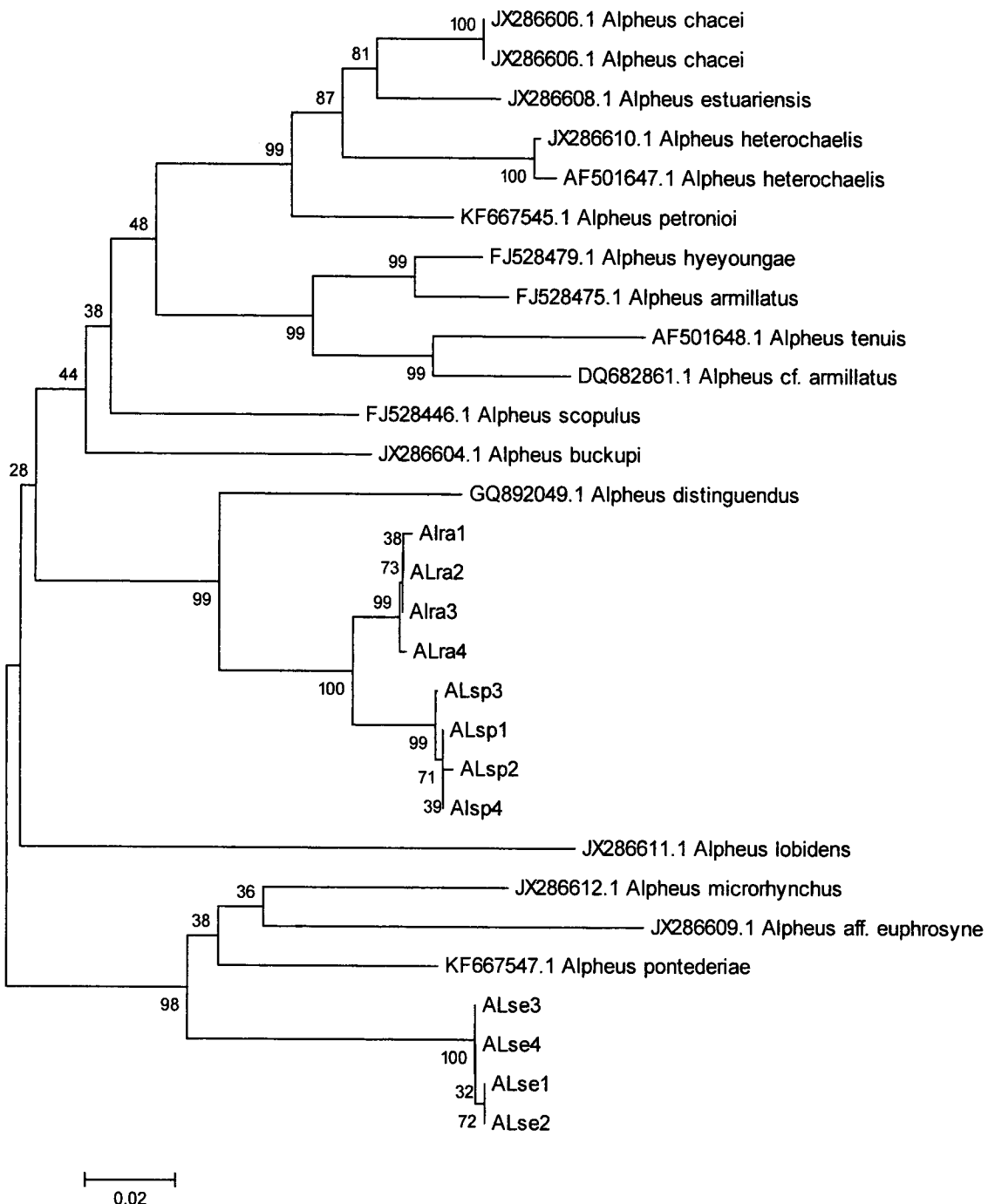
ในขณะที่ แผนภูมิความสัมพันธ์ทางวิวัฒนาการ ที่สร้างด้วยวิธี Minimum Evolution สามารถจัดกลุ่มในสกุล *Alpheus* ได้ 2 กลุ่มใหญ่เช่นกัน แต่ว่ากลุ่ม *Alpheus* sp., *A. rapacida* และ *A. distingendus* กลับคล้ายกับกลุ่มที่ 2 มากกว่ากลุ่มที่ 1 แต่ค่า bootstrap มีค่าต่ำมาก (28) ซึ่งแสดงถึงความไม่เสถียรของการจัดกลุ่มแบบนี้

ตารางที่ 12 ระยะห่างทางพันธุกรรมระหว่างตัวอย่างกุ้งดีดขัน *Alpheus* (แนวล่างเส้นทรายมุม) โดยคำนวณจากจำนวนการแทนที่นิวคลีโอไทด์ต่อตำแหน่ง เนื่องจากความต่างในนิวคลีโอไทด์ที่มีสัดส่วนของสายนิวคลีโอไทด์ที่ไม่มีการเปลี่ยนแปลง ส่วนค่า Standard error แสดงเหนือเส้นทรายมุม

Alra1 ( <i>Alpheus rapacida</i> )	0.00	0.00	0.00	0.04	0.04	0.04	0.01	0.01	0.01	0.01	0.02	0.03	0.04	0.03	0.03	0.04	0.05	0.04	0.04	0.04	0.04	0.03	0.04	0.04	0.04	0.04	0.04	
Alra2 ( <i>Alpheus rapacida</i> )	0.00	0.00	0.00	0.04	0.04	0.04	0.01	0.01	0.01	0.01	0.02	0.03	0.04	0.03	0.03	0.04	0.05	0.04	0.04	0.04	0.04	0.03	0.04	0.04	0.04	0.04	0.04	
Alra3 ( <i>Alpheus rapacida</i> )	0.00	0.00	0.00	0.04	0.04	0.04	0.01	0.01	0.01	0.01	0.02	0.03	0.04	0.03	0.03	0.04	0.05	0.04	0.04	0.04	0.04	0.03	0.04	0.04	0.04	0.04	0.04	
Alra4 ( <i>Alpheus rapacida</i> )	0.00	0.00	0.00	0.04	0.04	0.04	0.01	0.01	0.01	0.01	0.02	0.03	0.04	0.03	0.03	0.04	0.05	0.04	0.04	0.04	0.04	0.03	0.04	0.04	0.04	0.04	0.04	
ALse1 ( <i>Alpheus serenie</i> )	0.20	0.20	0.20	0.20	0.00	0.00	0.00	0.04	0.04	0.04	0.04	0.04	0.04	0.04	0.04	0.02	0.03	0.03	0.04	0.04	0.04	0.04	0.03	0.04	0.04	0.04	0.04	0.04
ALse2 ( <i>Alpheus serenie</i> )	0.20	0.20	0.20	0.20	0.00	0.00	0.00	0.04	0.04	0.04	0.04	0.04	0.04	0.04	0.04	0.02	0.03	0.03	0.04	0.04	0.04	0.04	0.05	0.05	0.05	0.05	0.05	0.05
ALse3 ( <i>Alpheus serenie</i> )	0.20	0.19	0.19	0.19	0.00	0.00	0.00	0.04	0.04	0.04	0.04	0.04	0.04	0.04	0.04	0.02	0.03	0.03	0.04	0.04	0.04	0.04	0.05	0.05	0.05	0.05	0.05	0.05
ALse4 ( <i>Alpheus serenie</i> )	0.20	0.19	0.19	0.19	0.00	0.00	0.00	0.04	0.04	0.04	0.04	0.04	0.04	0.04	0.04	0.02	0.03	0.03	0.04	0.04	0.04	0.04	0.05	0.05	0.05	0.05	0.05	0.05
ALsp1 ( <i>Alpheus sp.</i> )	0.03	0.03	0.03	0.03	0.20	0.20	0.20	0.20	0.00	0.00	0.00	0.02	0.03	0.04	0.03	0.04	0.04	0.05	0.04	0.04	0.04	0.03	0.03	0.04	0.04	0.04	0.04	0.04
ALsp2 ( <i>Alpheus sp.</i> )	0.04	0.03	0.03	0.03	0.20	0.20	0.20	0.20	0.00	0.00	0.00	0.02	0.03	0.04	0.04	0.04	0.05	0.04	0.04	0.04	0.04	0.03	0.04	0.04	0.04	0.04	0.04	0.04
ALsp3 ( <i>Alpheus sp.</i> )	0.03	0.03	0.03	0.03	0.20	0.20	0.20	0.20	0.00	0.00	0.00	0.02	0.03	0.04	0.04	0.04	0.05	0.04	0.04	0.04	0.04	0.03	0.04	0.04	0.04	0.04	0.04	0.04
Alsp4 ( <i>Alpheus sp.</i> )	0.03	0.03	0.03	0.03	0.20	0.20	0.20	0.20	0.00	0.00	0.00	0.02	0.03	0.04	0.03	0.04	0.05	0.04	0.04	0.04	0.04	0.03	0.03	0.04	0.04	0.04	0.04	0.04
GQ892049.1 <i>Alpheus distinguendus</i>	0.09	0.09	0.09	0.09	0.21	0.21	0.21	0.21	0.10	0.11	0.11	0.10	0.04	0.03	0.03	0.04	0.04	0.05	0.04	0.03	0.04	0.03	0.04	0.04	0.04	0.04	0.04	0.04
JX286604.1 <i>Alpheus buckupi</i>	0.16	0.16	0.16	0.16	0.18	0.18	0.18	0.18	0.16	0.16	0.16	0.16	0.18	0.03	0.03	0.04	0.04	0.04	0.03	0.03	0.03	0.03	0.03	0.04	0.03	0.03	0.03	0.03
JX286606.1 <i>Alpheus chacei</i>	0.20	0.19	0.19	0.20	0.19	0.19	0.19	0.19	0.20	0.19	0.19	0.19	0.17	0.14	0.02	0.04	0.03	0.04	0.02	0.00	0.02	0.01	0.02	0.03	0.04	0.03	0.03	0.03
KF667545.1 <i>Alpheus petronioli</i>	0.17	0.17	0.17	0.17	0.18	0.18	0.18	0.18	0.18	0.19	0.19	0.18	0.17	0.16	0.08	0.03	0.03	0.04	0.02	0.02	0.02	0.02	0.03	0.03	0.04	0.03	0.03	0.03
KF667547.1 <i>Alpheus pontederiae</i>	0.18	0.18	0.18	0.18	0.13	0.13	0.13	0.13	0.19	0.19	0.19	0.19	0.18	0.20	0.19	0.18	0.03	0.02	0.04	0.04	0.03	0.04	0.04	0.05	0.04	0.04	0.05	0.04
JX286612.1 <i>Alpheus microrhynchus</i>	0.20	0.20	0.20	0.20	0.15	0.15	0.15	0.15	0.21	0.21	0.21	0.21	0.19	0.19	0.17	0.17	0.13	0.03	0.04	0.03	0.04	0.04	0.04	0.04	0.05	0.05	0.04	0.04
JX286609.1 <i>Alpheus aff. euphrosyne</i>	0.24	0.24	0.24	0.24	0.14	0.14	0.14	0.14	0.26	0.26	0.26	0.26	0.24	0.21	0.21	0.13	0.14	0.04	0.04	0.04	0.05	0.04	0.04	0.05	0.05	0.05	0.05	0.05
JX286610.1 <i>Alpheus heterochaelis</i>	0.22	0.21	0.21	0.21	0.18	0.18	0.18	0.18	0.21	0.22	0.22	0.21	0.19	0.15	0.07	0.09	0.18	0.20	0.21	0.02	0.00	0.02	0.03	0.03	0.04	0.03	0.04	0.03
JX286606.1 <i>Alpheus chacei</i>	0.20	0.19	0.19	0.20	0.19	0.19	0.19	0.19	0.20	0.19	0.19	0.17	0.14	0.00	0.08	0.19	0.17	0.21	0.07	0.02	0.01	0.02	0.03	0.04	0.03	0.03	0.03	0.03
AF501647.1 <i>Alpheus heterochaelis</i>	0.22	0.22	0.22	0.22	0.18	0.18	0.18	0.22	0.22	0.22	0.20	0.15	0.08	0.10	0.18	0.20	0.20	0.01	0.08	0.02	0.03	0.03	0.05	0.03	0.04	0.03	0.03	
JX286608.1 <i>Alpheus estuariensis</i>	0.18	0.19	0.19	0.19	0.20	0.20	0.20	0.20	0.20	0.20	0.20	0.19	0.16	0.05	0.08	0.19	0.19	0.08	0.05	0.08	0.03	0.03	0.04	0.03	0.03	0.03	0.03	
FJS28446.1 <i>Alpheus scopulus</i>	0.15	0.15	0.15	0.15	0.18	0.18	0.18	0.15	0.15	0.15	0.17	0.13	0.12	0.15	0.19	0.20	0.25	0.14	0.12	0.15	0.14	0.03	0.05	0.02	0.03	0.03	0.03	
FJS28479.1 <i>Alpheus hyeyoungae</i>	0.19	0.19	0.19	0.19	0.23	0.23	0.23	0.18	0.18	0.18	0.18	0.19	0.15	0.14	0.15	0.20	0.22	0.13	0.14	0.13	0.14	0.14	0.04	0.01	0.03	0.02	0.02	
JX286611.1 <i>Alpheus lobidens</i>	0.21	0.21	0.21	0.21	0.23	0.23	0.24	0.24	0.22	0.22	0.22	0.19	0.22	0.22	0.24	0.23	0.22	0.22	0.24	0.22	0.23	0.23	0.05	0.05	0.04	0.04	0.04	
FJS28475.1 <i>Alpheus armillatus</i>	0.19	0.19	0.19	0.19	0.23	0.23	0.18	0.18	0.18	0.20	0.15	0.15	0.16	0.21	0.23	0.24	0.15	0.16	0.15	0.13	0.04	0.24	0.02	0.02	0.02	0.02		
AF501648.1 <i>Alpheus tenuis</i>	0.23	0.23	0.23	0.23	0.22	0.22	0.23	0.23	0.23	0.23	0.23	0.17	0.18	0.19	0.25	0.25	0.24	0.19	0.18	0.19	0.17	0.17	0.13	0.26	0.11	0.02	0.02	
OO682861.1 <i>Alpheus cf. armillatus</i>	0.21	0.21	0.21	0.21	0.25	0.25	0.25	0.22	0.22	0.22	0.20	0.14	0.16	0.16	0.22	0.21	0.24	0.17	0.16	0.17	0.17	0.16	0.09	0.23	0.09	0.08	0.08	



ภาพที่ 7 แผนภูมิแสดงความสัมพันธ์ทางวิวัฒนาการของกุ้งดีดขันสกุล *Alpheus* ที่สร้างด้วยใช้วิธีการ Maximum Likelihood จากข้อมูลลำดับนิวคลีโอไทด์บางส่วนของยีน 16S rRNA บนไมโทคอนเดรีย Hasegawa-Kishino-Yano (HKY+I+G, Hasegawa et al. 1985) ซึ่งยอมให้มีการกำหนดบริเวณที่ไม่มีความแปรปรวน ซึ่งแผนภูมิที่แสดงมีค่า log likelihood มากที่สุด (-2979.6658) ใช้ข้อมูลทั้งสิ้น 493 ตำแหน่ง เปอร์เซ็นต์สนับสนุนการจัดกลุ่ม คือร้อยละของแผนภูมิที่ได้จากการสุ่มซ้ำ (bootstrap) 1000 ครั้ง แผนภูมิเริ่มต้นสำหรับการหาแผนภูมิที่ดีที่สุดหาโดยใช้แนวทาง heuristic search และสร้างโดยวิธีการ Neigbor-Join หรือ BIONJ ที่ใช้ข้อมูลระยะห่างทางพันธุกรรมของคู่ตัวอย่าง คำนวณโดย Maximum Composit matrix



ภาพที่ 8 แผนภูมิแสดงความสัมพันธ์ทางวิวัฒนาการของกุ้งตีดขันสกุล *Alpheus* ที่สร้างจากลำดับนิวคลีโอไทด์บางส่วนของยีน 16S rRNA บนไมโครคอนเดรีย ด้วยใช้วิธีการ Minimum Evolution โดยไม่ได้ใช้คือ Maximum Composite likelihood โดยใช้ข้อมูล 493 ตำแหน่ง ค่าสันบสนุนการจัดกลุ่ม คือร้อยละของแผนภูมิที่ได้จากการสุ่มช้ำ (bootstrap) 1000 ครั้ง สร้างแผนภูมิเริ่มต้นโดยวิธี Neighbor-Joining การหาแผนภูมิฯ ใช้วิธี Close-Neighbor-Interchange (CNI) algorithm

## อภิปรายผลการศึกษา

เครื่องหมายพันธุกรรมที่เลือกใช้ในการศึกษาครั้งนี้ โดยเฉพาะอย่างยิ่งบริเวณบางส่วนของยีน COI และ 16S rRNA บนไมโทคอนเดรีย มีประสิทธิภาพในการบ่งชี้ความแตกต่างระดับชนิดได้ดี และสามารถนำมาใช้ในการตอบโจทย์ทางอนุกรมวิธานที่ค่อนข้างหลากหลาย ความยาวของชิ้นดีเอ็นเอ COI และ 16S rRNA ที่ได้จากการเพิ่มปริมาณดีเอ็นเอโดยไพรเมอร์ในการศึกษาในครั้งนี้ (ประมาณ 500-620 คู่เบสเมื่อมีการตัดสายนิวคลีอิกให้เท่ากับสายที่มีรายงานอยู่ในฐานข้อมูล GenBank) เพียงพอต่อการวิเคราะห์ความสัมพันธ์ทางพันธุกรรมร่วมกับดีเอ็นเอตำแหน่งเดียวกันที่อยู่ในฐานข้อมูล GenBank ในขณะที่ยีน Histone H3 ที่ใช้มีขนาดค่อนข้างสั้น (ประมาณ 297-328 คู่เบส) จึงทำให้ไม่สามารถอธิบายความแปรปรวนระดับสปีชีส์ได้ดีเท่าที่ควร

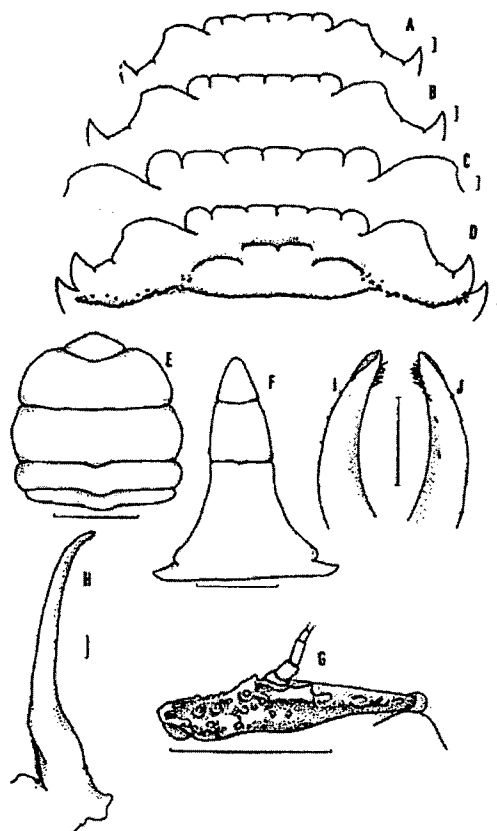
### ความแปรปรวนทางพันธุกรรมของปูม้าหิน

ปูม้าหิน *Thalamita prymna* และ *T. danae* ที่สามารถพบริเวณที่อยู่ในพื้นที่แถบชายฝั่งทั้งในอ่าวไทย อันดามัน และมหาสมุทรอินเดีย (สุรินทร์ มัจฉาชีพ, 2532) นั้น ยังมีปัญหาด้านอนุกรมวิธานที่อาศัยสัณฐานอยู่มาก เนื่องจากเกณฑ์ในการแยกความแตกต่างจากลักษณะสัณฐานที่กำหนดไว้ใน Wee and Ng (1995) ค่อนข้างมีความคลุมเครือ และบางลักษณะจะพบเฉพาะในเพศผู้เท่านั้น (เช่น ลักษณะปลายของ Gonopod, ตารางที่ 12) นอกจากนี้สัณฐานที่ปรากฏอาจมีความแปรปรวนอันเนื่องมาจากการต่างสถานที่เก็บตัวอย่างและวิธีการศึกษาของ Wee and Ng (1995) โดย Wee and Ng (1995) เก็บตัวอย่างจากประเทศไทยและสิงคโปร์เท่านั้น และไม่ได้ใช้การวิเคราะห์ลำดับดีเอ็นเอร่วมด้วยในการยืนยัน สปีชีส์

ตารางที่ 12 รูปร่างลักษณะภายนอกที่แตกต่างกันระหว่างปูม้าหิน *T. prymna* และ *T. danae* (อิงอธิบายพัฒนาพงศ์, 2556)

ลักษณะภายนอก	<i>Thalamita prymna</i> (ภาพที่ 9)	<i>Thalamita danae</i> (ภาพที่ 10)
1. Basal antennal segment (ส่วนฐานหนวด)	ส่วนของฐานหนวดมีลักษณะเป็นหนามที่แหลมหลายอัน (เป็นลักษณะร่วมกับ <i>Thalamita carasma</i> ) ส่วนของฐานหนวดมีหนาม 2 อันเชื่อมติดกัน	ส่วนของฐานหนวดมีลักษณะเรียบหรือเป็นสันแนวชุ่มระ
2. Submedian lobe (ส่วนของ Frontal border)	-	ความกว้างของ Submedian lobe ไม่แตกต่างจากความกว้างของ Median lobe อย่างชัดเจน
3. Frontal lobe	Frontal lobe ซิดกันมาก	-
4. Lateral lobe	Lateral lobe ห่างไม่มากจาก Submedian	-

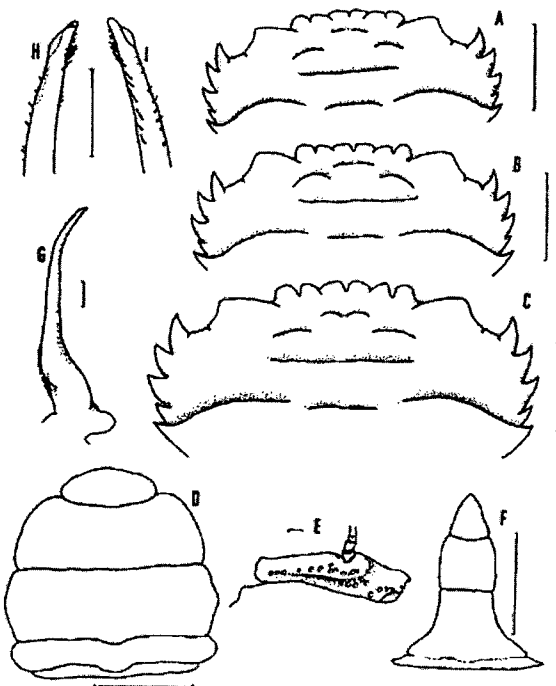
5. Mesogastric ridge	-	Mesogastric ridge ไม่แยกกัน
6. Carapace ridge	มี Carapace ridge นูนชัดเจนและมีเม็ดเล็กๆ ساกรุ	-
7. Epistomal ridge	พบด้านล่างของ Epistomal ridge มีลักษณะคลื่ง	-
8. G <sub>1</sub> Distal tip	G <sub>1</sub> Distal tip โค้งอย่างชัดเจน	G <sub>1</sub> Distal tip มีลักษณะเรียวเล็ก โค้งอย่างน้อย
9. G <sub>1</sub> basal lobe	แนวด้านข้างของ G <sub>1</sub> basal lobe มีลักษณะเว้า	แนวด้านข้างของ G <sub>1</sub> basal lobe มีลักษณะกลมมน
10. Manus ของก้ามหนีบ	ผิวของ Manus ด้านในเรียบลisci ลักษณะเว้า	-



(ที่มา: Wee and Ng, 1995)

ภาพที่ 9 รูปร่างลักษณะภายนอกที่สังเกตได้ของปูม้าหิน *Thalamita prymna*

A, B, C และ D = front dorsal surface; E = female abdomen; F = male abdomen;  
G = left basal antennal segment; H = left G<sub>1</sub> abdominal surface; I = apex of left G<sub>1</sub> abdominal surface; J = apex of left G<sub>1</sub> sternal surface



(ที่มา: Wee and Ng, 1995)

ภาพที่ 10 รูปร่างลักษณะภายนอกที่สังเกตได้ของปูม้าหิน *Thalamita danae*

A, B และ C = front dorsal surface; D = female abdomen; E = right basal antennal segment; F = male abdomen; G = left  $G_1$  abdominal surface; H = apex of left  $G_1$  abdominal surface; I = apex of left  $G_1$  sternal surface

ผลการศึกษาจากยีน COI, 16S rRNA และ Histone H3 บ่งชี้ว่าปูม้าหินที่คาดว่าจะเป็นสองสปีชีส์ นั้นไม่มีความแตกต่างกันทางพันธุกรรม ข้อมูลนิวคลีโอไทด์ดังกล่าวเป็นไปในทิศทางเดียวกับ การศึกษาความแตกต่างโดยสัณฐานของ อิงอร เฮงพัฒนาพงศ์ (2556) ที่วิเคราะห์ความแตกต่างของ สัดส่วนระยะค์ ออาศัยวิธีการบางส่วนของ อำนวย จารดัง และประดิษฐ์ แสงทอง (2550) และไม่พบความ แตกต่างกันในกลุ่มตัวอย่างปูม้าหินทั้งสองกลุ่ม จึงเป็นไปได้ว่าปูม้าหิน (*T. pryma/danae*) ที่หมู่เกาะ แสมสารประกอบไปด้วยปูเพียงสปีชีส์เดียว และน่าจะเป็น *T. danae* (ประมาณจากผลที่เทียบกับ ฐานข้อมูล GenBank) อาจจำเป็นต้องมีการตรวจสอบระหว่างสถานที่ในประเทศไทย และใน ต่างประเทศ รวมถึงตรวจสอบความถูกต้องของการเรียกชื่อของตัวอย่างในฐานข้อมูล GenBank

สไนนิวคลีโอไทด์บางส่วนของยีน COI และ 16S rRNA ที่ใช้ในการศึกษาในครั้งนี้มีประสิทธิภาพ ในการแยกชนิดในสกุล *Thalamita* ได้หลายชนิด ซึ่งระดับความแตกต่างของยีน COI ระหว่างสปีชีส์ใน สกุลนี้มีค่าระยะห่างทางพันธุกรรมอยู่ในช่วง 0.10-0.19 (10-19%) ซึ่งเป็นระดับที่พบในการศึกษาของ Silva et al. (2011) Chu, Tong & Chan (1998) และ Yamindago, Senanan & Tangkrock-Olan (2013) ที่มีการวิเคราะห์ความหลากหลายทางพันธุกรรมของปูหลายสกุล (ตารางที่ 13) ส่วนยีน 16S rRNA มีความแปรปรวนของสไนนิวคลีโอไทด์น้อยกว่ายีน COI โดยระยะห่างทางพันธุกรรม ระหว่างสปีชีส์ในสกุล *Thalamita* เท่ากับ 0.04-0.09 (4-9%)

ตารางที่ 13 ค่าระยะห่างทางพันธุกรรม K2P ภายในชนิดเดียวกัน ระหว่างสปีชีส์ในจีนัสเดียวกัน และระหว่างสกุลในแฟมิลีเดียวกันของยีน COI ในการศึกษาครั้งนี้ และงานวิจัยที่เกี่ยวข้อง

ค่าระยะห่างทางพันธุกรรม K2P ภายในสปีชีส์เดียวกัน			
การศึกษาครั้งนี้ (ปูม้าหินสกุล <i>Thalamita</i> )	Silva et al. (2011) (กลุ่มสัตว์ decapoda)	Chu et al. (1998) (ปูสกุล <i>Charybdis</i> )	Yamindago et al. (2013) (ปูสกุล <i>Metopograpsus</i> )
0	0.0285-0.01375	0.02	0.0-0.019
ค่าระยะห่างทางพันธุกรรม K2P ระหว่างสปีชีส์ในจีนัสเดียวกัน			
0.10-0.19	0.064%-0.21%	0.049%-0.13	0.087-0.12
ค่าระยะห่างทางพันธุกรรม K2P ระหว่างจีนัสภายในแฟมิลีเดียวกัน			
0.14-0.21%	0.114-0.25%	0.146%	

ตารางที่ 14 ค่าระยะห่างทางพันธุกรรม ภายในสปีชีส์เดียวกัน ระหว่างสปีชีส์ในจีนัสเดียวกัน และระหว่างสกุลในแฟมิลีเดียวกันของยีน 16S rRNA ในการศึกษาครั้งนี้ และงานวิจัยที่เกี่ยวข้อง

ค่าระยะห่างทางพันธุกรรมภายในสปีชีส์เดียวกัน					
การศึกษานี้ ปูม้าหิน <i>Thalamita</i>	การศึกษานี้ กุ้งดีดขัน <i>Alpheus</i>	การศึกษานี้ ปูลม <i>Ocypode</i>	Yamindago et al. (2013) (ปูสกุล <i>Metopograpsus</i> )	Shih et al. (2007) (กุ้งน้ำจืดกลุ่ม <i>Neocaridina</i> )	Mathews et al. (2006) (กุ้งดีดขันสกุล <i>Alpheus</i> )
0-0.01	0.003-0.025	0-0.01	0-0.019	0-0.012	0.005-0.062
ค่าระยะห่างทางพันธุกรรมระหว่างสปีชีส์ในจีนัสเดียวกัน					
0.11-0.19	0.09-0.16	0.09-0.19	0.058-0.079	0.024-0.076	0.048

### ความแปรปรวนทางพันธุกรรมของกุ้งดีดขัน

เครื่องหมายทางพันธุกรรมของยีน 16S rRNA มีความสามารถในการบ่งชี้ความแตกต่างทางพันธุกรรมของครอบครัว Alpheidae สกุล *Alpheus* ได้โดยที่สายนิวคลีโอไทด์ของยีน 16S rRNA นี้มีความยาวของสาย นิวคลีโอไทด์ที่ใช้มีขนาด 477 คู่เบส และ 482 คู่เบส จากสายนิวคลีโอไทด์ 1,488 คู่เบส (National Center for Biotechnology Information, 2013) ซึ่งมีขนาดที่ใกล้เคียงกับที่ใช้ในการวิจัยกุ้งดีดขันของ Methews (2002) ซึ่งมีขนาด 492 คู่เบส

การศึกษาของ Zardoya and Meyer (1996) พบว่ารูปแบบความแปรปรวนของยีนทั้งหมดบนไม้โตคอนเดรียมีความสัมพันธ์เชิงบวกกับระดับความแตกต่างทางวิวัฒนาการระหว่างกลุ่มอนุกรมวิธานที่แยกจากกันน้อยกว่า 100 ล้านปี ยืนบางกลุ่ม เช่น ND 2, ND 4, ND 5 (NADH Subunit 2, 4, 5 ตามลำดับ), COI และ 16S rRNA มีความสม่ำเสมอมากกว่ายีนอื่นๆ บนไม้โตคอนเดรียม (Zardoya and Meyer, 1996) จึงเหมาะสมสำหรับการศึกษาเพื่อตรวจสอบความสัมพันธ์ทางวิวัฒนาการของกุ้งดีดขันภายในสกุล *Alpheus* ได้

การวิเคราะห์นิวคลีโอไทด์ของยีน 16S rRNA ใน การศึกษาครั้งนี้สามารถตรวจสอบความแตกต่างของสปีชีส์ของกุ้งดีดขัน สกุล *Alpheus* ได้โดย *Alpheus sp.* น่าจะต่างจาก *A. rapacida* ซึ่งค่าระยะห่างทางพันธุกรรมที่คำนวณได้ของทุกหน่วยอนุกรมวิธานที่สูงกว่าระดับชนิดมีค่าร้อยละ 3 ซึ่งเป็นระดับ 13 เท่าของความแตกต่างภายในชนิดโดยระยะห่างทางพันธุกรรมภายในชนิดมีค่าอยู่ที่ 0.0-0.02 (ตารางที่ 12) ซึ่งสอดคล้องกับงานวิจัยในกลุ่มครัสเตเชียนอื่นหลายชนิด (ตารางที่ 14)

### ความสัมพันธ์ทางวิวัฒนาการภายในสกุล *Alpheus*

การจัดเรียงของลำดับนิวคลีโอไทด์บางส่วนของยีน 16S rRNA ของกุ้งดีดขันแต่ละชนิดโดยลำดับคู่เบสมีลำดับตั้งแต่ 172-222 ซึ่งเป็นบริเวณที่มีความแตกต่างกันชัดเจนที่สุดในการใช้จำแนกความแตกต่างของชนิด

ผลการวิเคราะห์ Phylogenetic Tree ทั้งสามวิธีคือ Maximum Likelihood, Neighbor-Joining Maximum และ Maximum Parsimony โดย *A. rapacida* กับ *Alpheus sp.* ถูกจัดให้อยู่ในกลุ่มเดียวกัน และ *A. serenie* ถูกแยกออกจากทั้งสองสปีชีส์ แต่วิธีการวิเคราะห์ความสัมพันธ์ทางวิวัฒนาการที่แตกต่างกันอาจให้รูปแบบ Phylogenetic Tree ที่แตกต่างกันของ Maximum Parsimony มีการจัดกลุ่มที่แตกต่างจาก Maximum Likelihood และ Neighbor-Joining เนื่องจาก

Phylogenetic Tree ที่ใช้นิวคลีโอไทด์ของยีน 16S rRNA โดยวิธีการสร้างทุกแบบสนับสนุนความใกล้เคียงกับทางวิวัฒนาการของ *A. rapacida* และ *Alpheus sp.* ซึ่งสอดคล้องลักษณะสัณฐานของกุ้งทั้งสองสปีชีส์ที่มีความแตกต่างกันเพียงเล็กน้อยเท่านั้น เป็นไปได้ว่าชนิดทั้งสองเพิ่งแยกจากกันได้ไม่นาน (อาจมีปัจจัยชีววิทยาของที่ทำให้กุ้งสองชนิดนี้ไม่สามารถผสมพันธุ์กันได้) นอกจากนี้ *A. rapacida* - *Alpheus sp.* ยังมีความแตกต่างจาก *A. serenie* อีกด้วยซึ่งเมื่อพิจารณาปัจจัยทางชีววิทยาบางประการ เช่น แหล่งที่อยู่อาศัยพบว่ากุ้ง *A. rapacida*, *A. serenie* และ *Alpheus sp.* พบริเวณที่ติดโคลนเหมือนกันและเมื่อเปรียบเทียบความลึกและความเดื้อมของบริเวณที่กุ้งดีดขันอาศัย *A. rapacida* และ *Alpheus sp.* พบที่ระดับความลึก 56 เมตรมีความเดื้อมต่ำ แต่ *A. serenie* พบที่ระดับความลึก 62 เมตรซึ่งมีความเดื้อมสูงกว่า

กุ้งดีดขันจากต่างประเทศที่นำมาเปรียบเทียบ *A. distinguendus*, *A. scopulus* จากที่มีความใกล้เคียงกับ *A. rapacida* โดยจากข้อมูลที่พับในพื้นที่เทียบอินโดแปซิฟิก ทะเลแดง และ *A. serenie* มีความใกล้ชิด *A. microrhynchus* และ *A. aff. euphrasyne* พับในพื้นที่ อินโดนีเซีย และ สิงคโปร์มีปัจจัยในลักษณะของแหล่งที่อยู่ใกล้เคียงกันมากกับกุ้งที่พับในจังหวัดชลบุรี (Dora et al., 1982) ซึ่งสะท้อนให้เห็นว่าความแตกต่างของแหล่งที่อยู่ ระดับความลึก มีผลต่อการแพร่กระจายของกุ้งดีดขันที่อาศัยอยู่แตกต่างกัน ซึ่ง *A. rapacida* กับ *Alpheus sp.* มีความสัมพันธ์เชิงวิวัฒนาการกับ *A. buckupi*, *A. distinguendus* และ *A. scopulus* จากอินโดแปซิฟิก และ *A. serenie* มีความใกล้ชิดกับทางวิวัฒนาการกับ *A. microrhynchus* และ *A. aff. euphrasyne* ที่อยู่บริเวณอินโดนีเซีย และ สิงคโปร์ เช่นกัน (Dora et al., 1982) ซึ่งส่วนมากกุ้งดีดขันจะไม่ชอบบริเวณน้ำจืดเมื่อผนกหนังจะเริ่มอพยพไปบริเวณที่มีความลึกเพิ่มขึ้นซึ่งอาจเป็นปัจจัยสำคัญในการแพร่กระจายในรุ่นลูกออกสู่ทะเลแล้วถูกกระแสน้ำพัดไปแพร่กระจายยังที่ต่างๆ (Dora et al., 1982) ทำให้ลักษณะภายนอกมีความแตกต่างกัน

เพื่อปรับตัวในการดำรงชีวิต เช่น มีลาย ไม่มีลาย สีเข้มตามพื้นผิวดิน เป็นต้น พฤติกรรมการผสมพันธุ์และช่วงเวลาของการสืบพันธุ์ที่แตกต่างกันซึ่งข้อมูลทางชีววิทยาในประเทศไทยยังคงมีข้อมูลที่น้อย ซึ่งควรมีการศึกษาเพิ่มเติมในส่วนของผลการศึกษาความสัมพันธ์ทางวิวัฒนาการ เพื่อเป็นข้อมูลพื้นฐานในการจัดลำดับอนุกรมวิธาน เชิงวิวัฒนาการ เชิงนิเวศวิทยา และประกอบการวางแผนการจัดการทรัพยากรถูกติดขั้นสกุล *Alpheus* ในระยะยาว ซึ่งน่าจะมีการศึกษาต่อไป

ความแตกต่างทางพื้นที่ทางภูมิศาสตร์มีผลต่อการแพร่กระจายของกุ้งสกุล *Alpheus* ดังเช่น งานวิจัยที่ ศึกษาการกุ้งสกุล *Alpheus* ในพื้นที่ทะเลカリเบียน, อ่าวแม็กซิโก, ฟอร์ด้า, บรากิล, และแบปซิฟิกตะวันออก ในบริเวณดังกล่าวที่มีความเหมือนและต่างกันมาก (Methews et. al., 2009) ซึ่งเกิดจากสิ่งกีดขวางทางภูมิศาสตร์ (Geographic Barrier) หรือ ปัจจัยทางชีววิทยา (Biological Barrier) ที่ลดการผสมพันธุ์ระหว่างชนิด (อุทัยรัตน์ ณ นคร, 2543)

## สรุปผล

1. บางส่วนของนิวคลีโอไทด์ของยีน COI และ 16S rRNA บนไมโครคอนเดรียลดีเอ็นเอ มีประสิทธิภาพในการแบ่งแยกสปีชีส์ภายในสกุลของสัตว์กลุ่มกุ้งปู ได้ดีกว่ายีน Histone H3 ที่อยู่ในนิวเคลียส
2. ระดับความแปรปรวนของภายในกลุ่มปูเบี้ยที่มีรูปแบบสีแตกต่างกัน และปูม้าหิน ของทุกยีนมีค่าต่ำ (ไม่เกิน 3%) น่าจะสะท้อนให้เห็นถึงว่าตัวอย่างที่นำมาวิเคราะห์น่าจะจัดเป็นสปีชีส์เดียวกันได้
3. ผลการยืนยันจากการยีนเอ็นเอทั้งสามตำแหน่ง พบว่าปูม้าหิน *Thalamita danae* และ *T. prymna* ที่รวบรวมจากหมู่เกาะแสมสารที่มีการแยกโดยสัณฐานเบื้องต้นว่าเป็นสองชนิด (ซึ่งมีความแตกต่างที่ความเรียบของฐานหนวด และที่ ဗอกออด ของตัวผู้เท่านั้น) น่าจะเป็นปูม้าเพียงชนิดเดียว และน่าจะเป็น *T. danae*
4. ปูลุมที่ปราภูที่หมู่เกาะแสมสารน่าจะมีเพียงชนิดเดียว คือ *Ocypode ceratophthalmus*
5. สำหรับกุ้งดีดขั้น *Alpheus* spp. ข้อมูลนิวคลีโอไทด์ของยีน 16S rRNA สามารถแบ่งชนิดได้อย่างชัดเจนโดย *Alpheus* sp. เป็นชนิดที่แตกต่างจาก *A. rapacida* และ *A. serenie*
6. แผนภูมิความสัมพันธ์ทางวิวัฒนาการที่แสดงว่า *Alpheus rapacida* มีความสัมพันธ์ใกล้ชิดกับ *Alpheus* sp. มากกว่า *Alpheus serenie*